



UNIVERSITÉ  
LAVAL

# GLO-4001/7021

# INTRODUCTION À LA ROBOTIQUE MOBILE

## Fusion de capteurs

# Retour sur l'examen

---

- GLO-4001 : moyenne de 78 %
- GLO-7021 : moyenne de 82 %
- Explication sur l'examen
  - Ce vendredi de 10h30 à midi, local du laboratoire
- Donc pas de laboratoire cette semaine

# Bourses CRSNG à la maîtrise

---

- Date limite d'application : **1<sup>er</sup> décembre**
- Bourse de 17,500\$ (sur 12 mois)
- Moyenne de **3,67** dans les 2 dernières années
- [http://www.nserc-crsng.gc.ca/Students-Etudiants/PG-CS/CGSM-BESCM\\_fra.asp](http://www.nserc-crsng.gc.ca/Students-Etudiants/PG-CS/CGSM-BESCM_fra.asp)

# **Concept #1**

## **Fusion de capteurs**

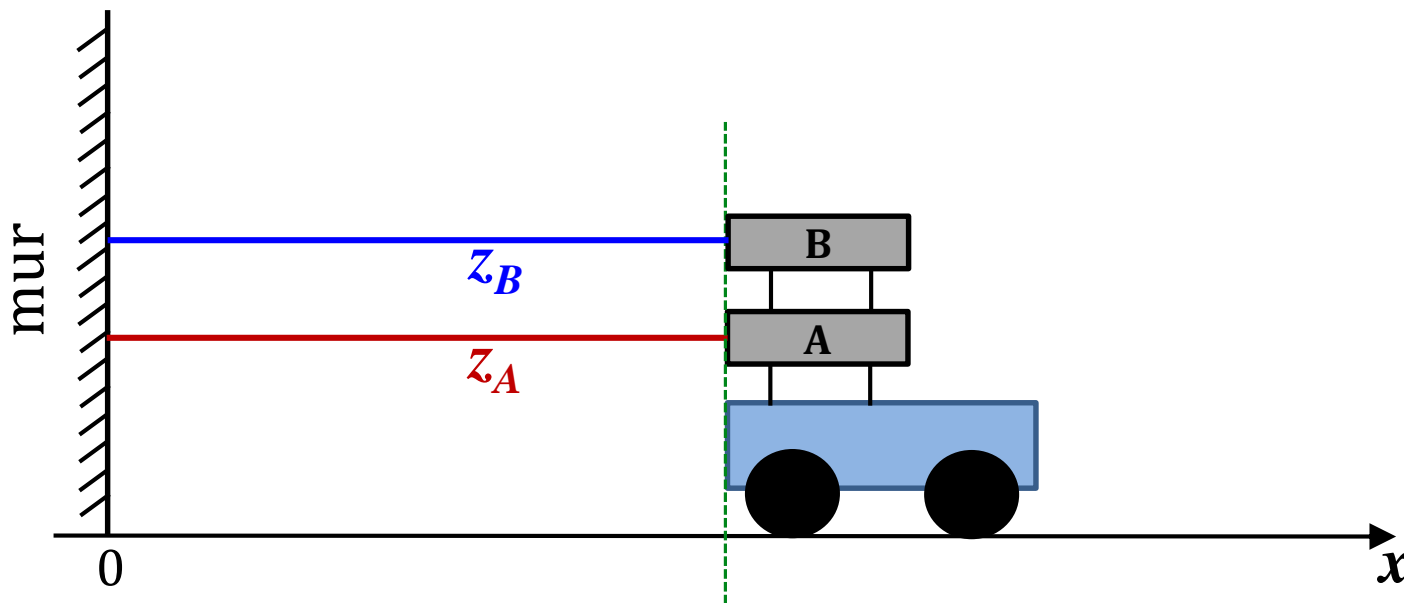
# Fusion de capteurs/information

---

- Robot est équipé de différents capteurs, travaillant dans différentes **modalités** / **grandeurs physiques** :
  - scanneur laser (**temps de vol lumière**, **mètre**)
  - odomètre (**pulsations**, **mètre**)
  - caméra (**intensité lumineuse**, **pixel**)
  - centrale inertielle (accél., gyro, magnéto)
- On a souvent aussi des estimés préalables de pose  $X$
- Comment combiner l'information de ces différentes sources de façon optimale<sup>\*</sup>, en tenant compte des incertitudes (bruits)

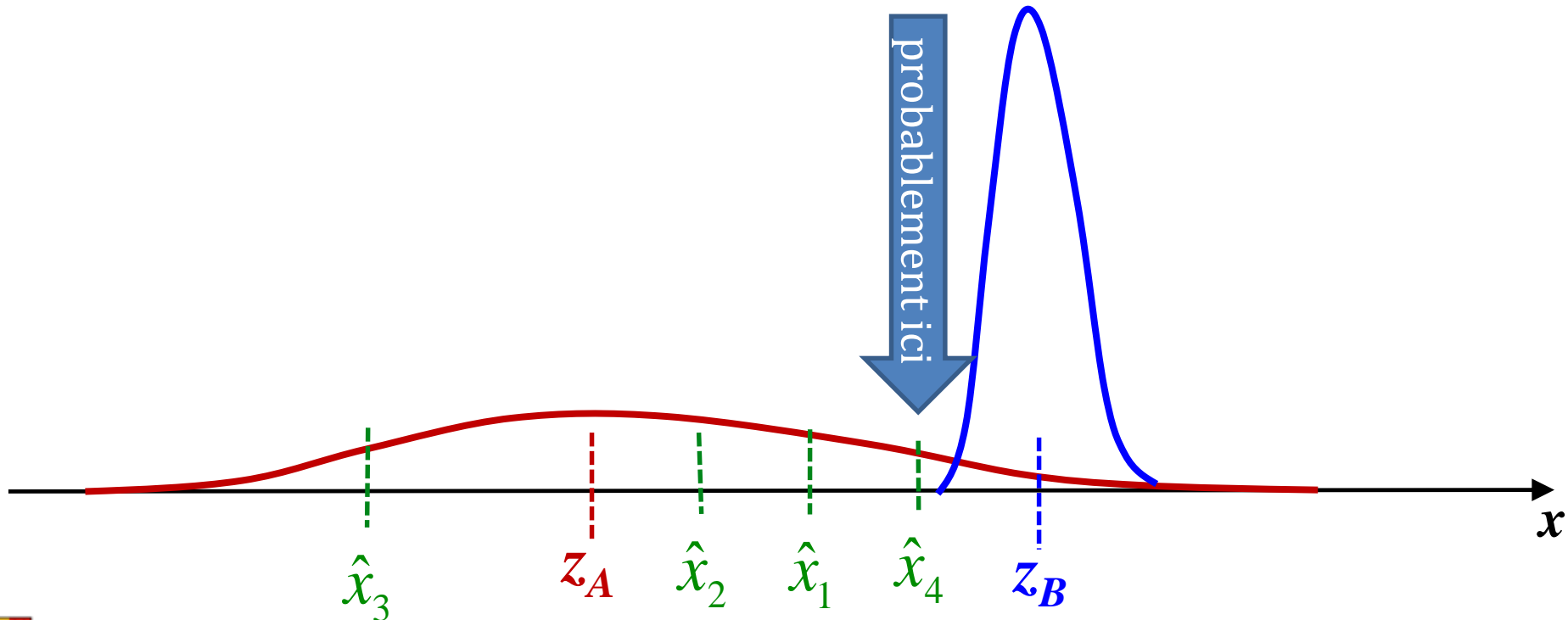
# Fusion de capteurs : cas simple

- Soit un robot équipé de deux capteurs de distance (A et B) ayant des bruits différents ( $\sigma_A^2$  et  $\sigma_B^2$ )



# Fusion de capteurs

- Quel est le meilleur estimé  $\hat{x}$  de la position du robot à partir des deux mesures  $z_A$  et  $z_B$  ?  
en tenant compte des bruits/incertitudes  $\sigma_A^2$  et  $\sigma_B^2$  ?



# Fusion de capteur : moyenne pondérée

---

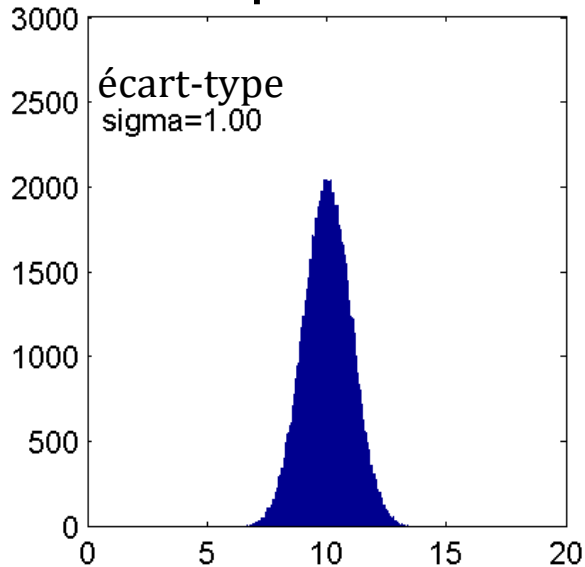
- Combiner avec une moyenne pondérée les  $i$  mesures (évidences) obtenues, basée sur l'inverse des variances  $\sigma_i^2$
- On veut donner plus d'importance à la mesure (évidence) ayant une variance  $\sigma_i^2$  plus petite.

$$\text{information} \propto \frac{1}{\sigma_i^2}$$

# Fusion de capteurs : moyenne

Capteurs identiques,  $\sigma_1^2 = \sigma_2^2$   $x=10$

capteur 1

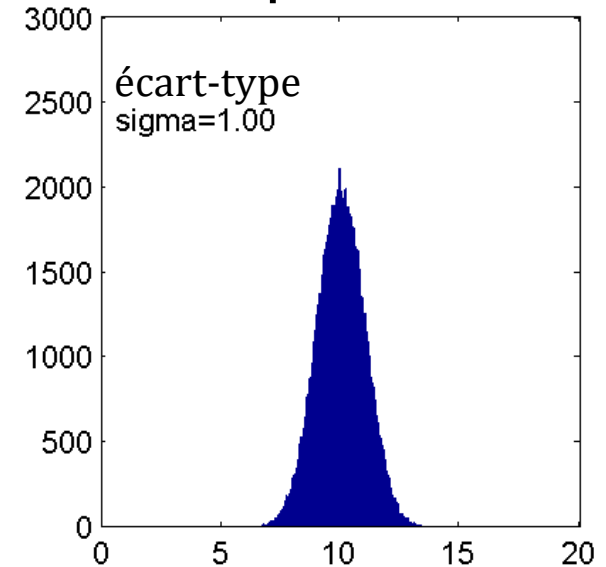


modèle du capteur

$$z_i = x + N(0, \sigma_i^2)$$

- parfaitement linéaire
- bruit sans biais
- portée illimitée

capteur 2

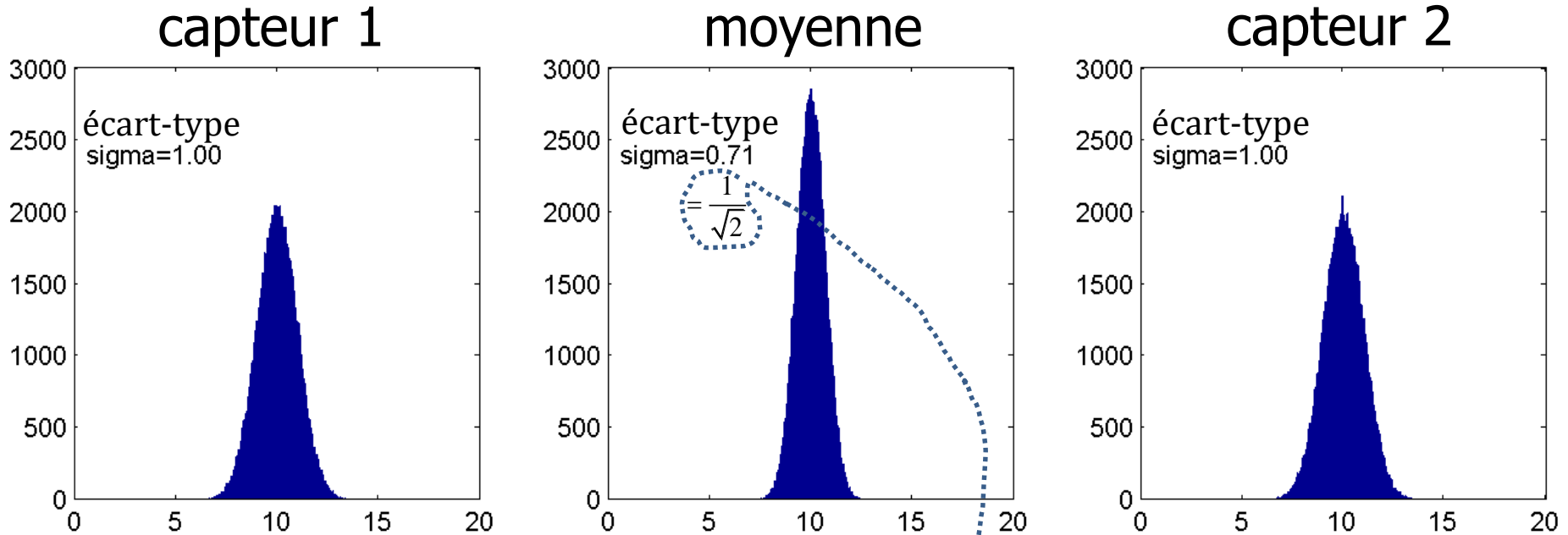


$$z_1 = 10 + N(0, \sigma_1^2 = 1^2)$$

$$z_2 = 10 + N(0, \sigma_2^2 = 1^2)$$

# Fusion de capteurs : moyenne

Capteurs identiques,  $\sigma_1^2 = \sigma_2^2$   $x=10$

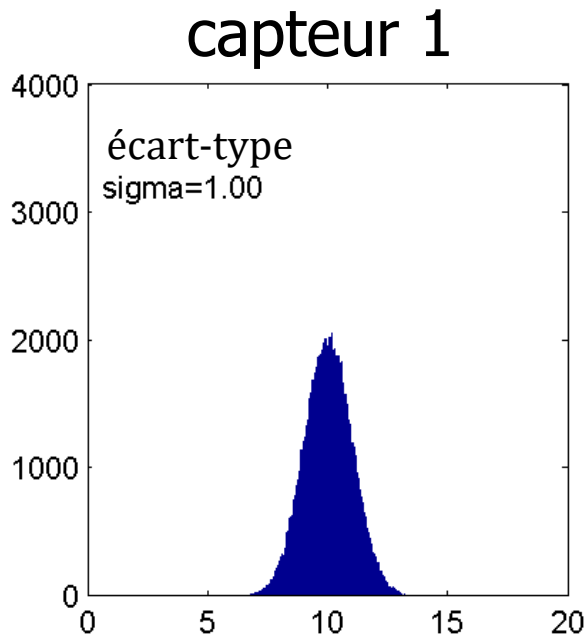


$$z_1 = 10 + N(0, \sigma_1^2 = 1^2) \quad \Rightarrow \quad z_3 = \frac{z_1 + z_2}{2} \quad \Leftarrow \quad z_2 = 10 + N(0, \sigma_2^2 = 1^2)$$

$$\sigma_{\text{moyenne}}^2 = \text{var} \left\{ \frac{1}{2} z_1 + \frac{1}{2} z_2 \right\} = \text{var} \left\{ \frac{1}{2} z_1 \right\} + \text{var} \left\{ \frac{1}{2} z_2 \right\} = \frac{1}{4} \text{var} \{z_1\} + \frac{1}{4} \text{var} \{z_2\} = \frac{1}{4} \sigma_1^2 + \frac{1}{4} \sigma_2^2 = \frac{1}{2} (1) = \frac{1}{2}$$

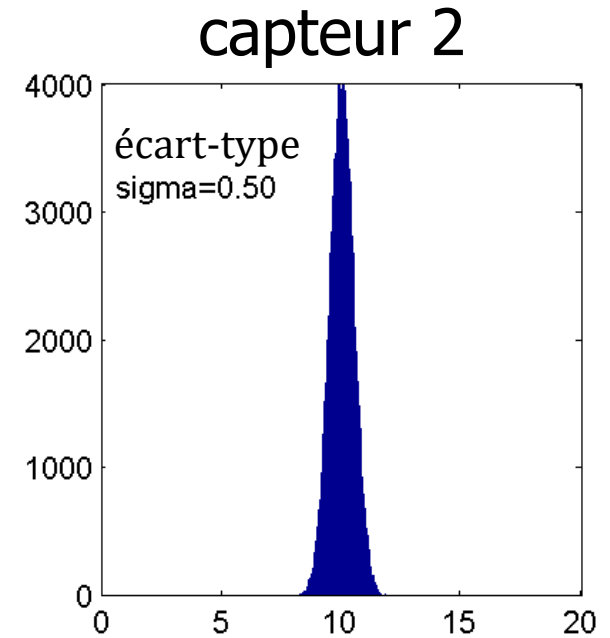
# Fusion de capteurs : moyenne

Capteurs **non**-identiques,  $\sigma_1^2 > \sigma_2^2$   $x=10$



moyenne

?

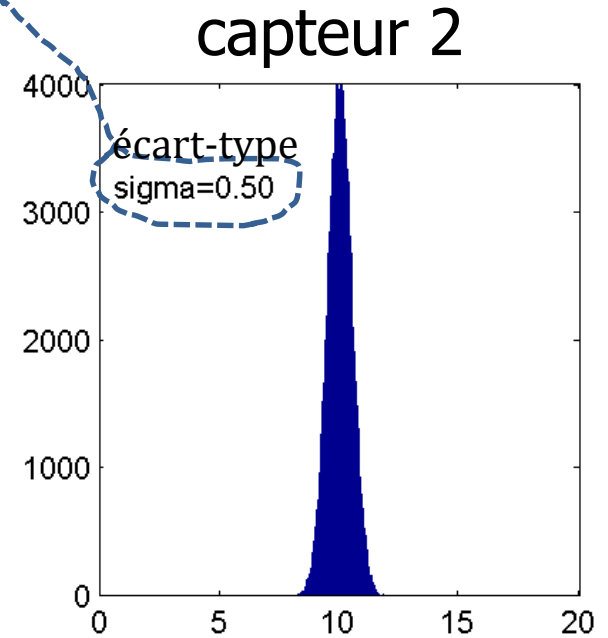
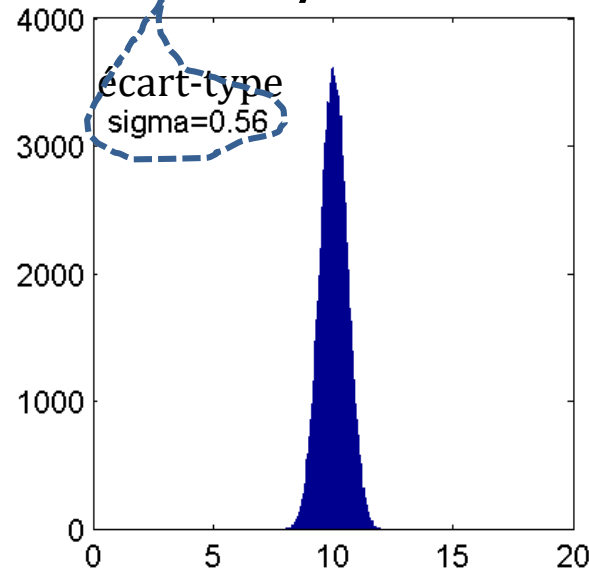
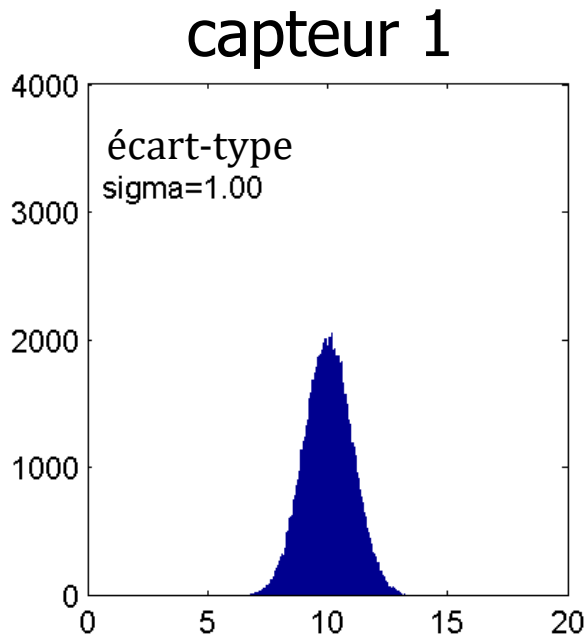


$$z_1 = 10 + N(0, \sigma_1^2 = 1^2) \rightarrow z_3 = \frac{z_1 + z_2}{2} \leftarrow z_2 = 10 + N(0, \sigma_2^2 = 0.5^2)$$

# Fusion de capteurs : moyenne

Capteurs **non**-identiques,  $\sigma_1^2 > \sigma_2^2$   $x=10$

$\sigma_{moyenne}$  est pire!  
moyenne

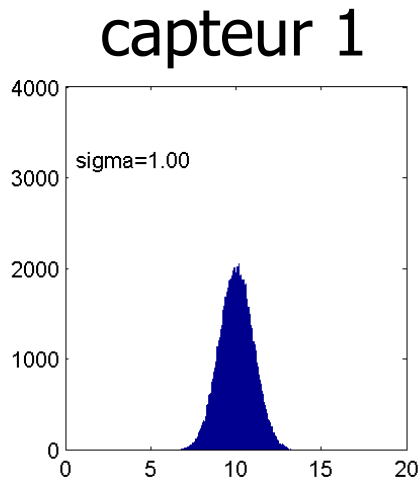


$$z_1 = 10 + N(0, \sigma_1^2 = 1^2) \rightarrow z_3 = \frac{z_1 + z_2}{2} \leftarrow z_2 = 10 + N(0, \sigma_2^2 = 0.5^2)$$

**Puis-je quand même soutirer de l'info du capteur 1?**

# Fusion de capteurs : moyenne pondérée

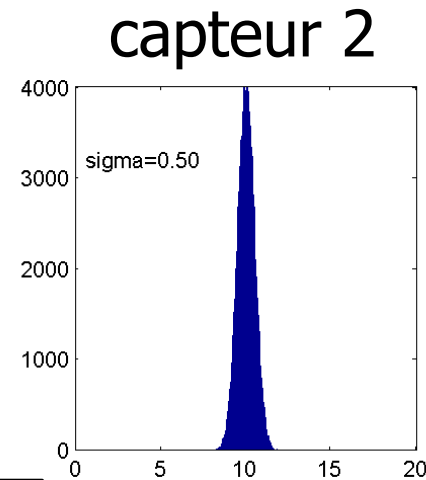
Capteurs  
non-identiques,  $\sigma_1^2 > \sigma_2^2$



$$z_1 = 10 + N(0, \sigma_1^2 = 1)$$

(même qu'avant)

$$z_3 = (1-w)z_1 + wz_2$$
$$0 \leq w \leq 1$$

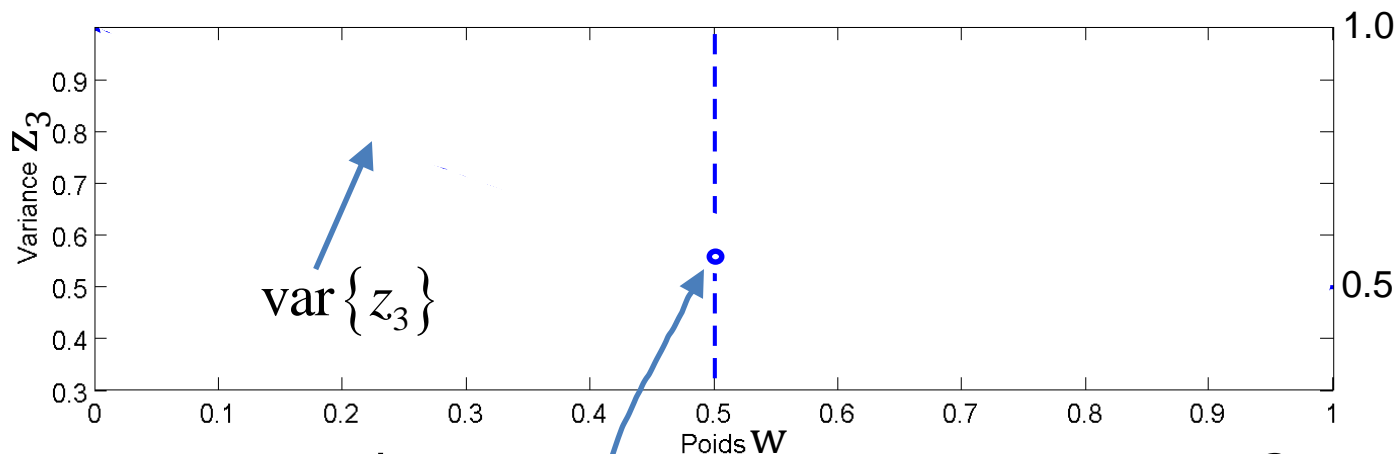


$$z_2 = 10 + N(0, \sigma_2^2 = 0.5^2)$$

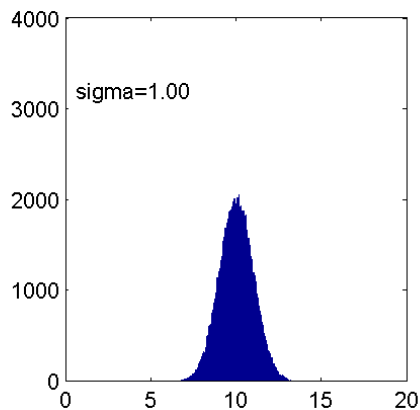
(même qu'avant)

# Fusion de capteurs : moyenne pondérée

Capteurs  
non-identiques,  $\sigma_1^2 > \sigma_2^2$



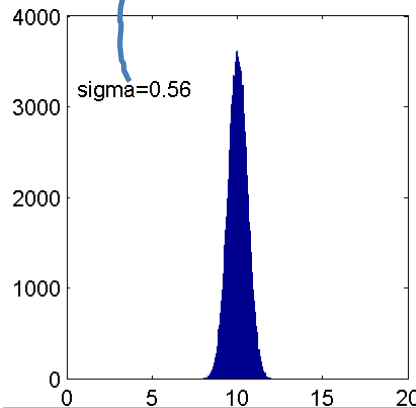
capteur 1



$$z_1 = 10 + N(0, \sigma_1^2 = 1)$$

(même qu'avant)

w=0.50

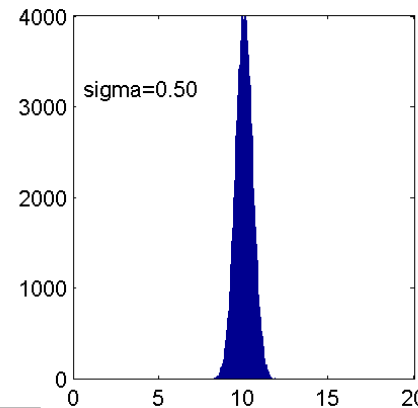


$$z_3 = (1-w)z_1 + wz_2$$

$$0 \leq w \leq 1$$

$$w=0.50$$

capteur 2

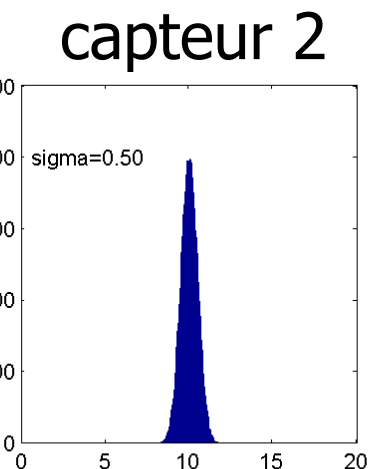
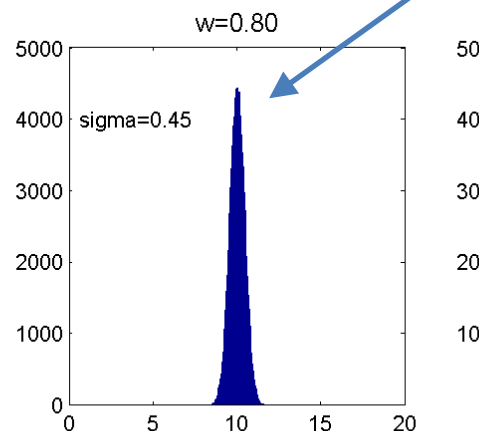
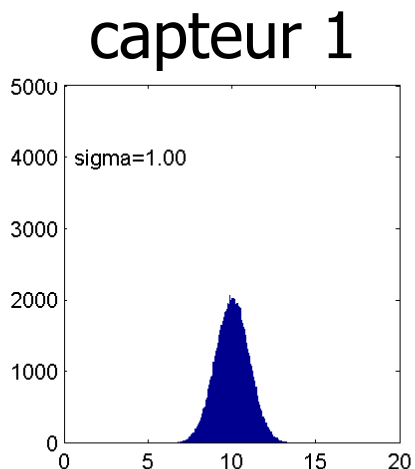
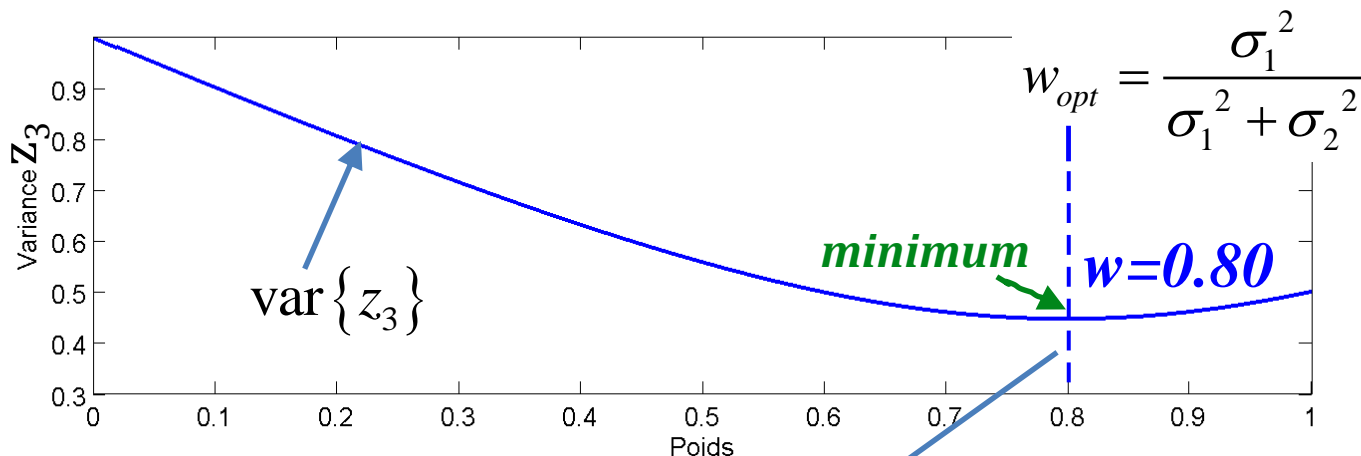


$$z_2 = 10 + N(0, \sigma_2^2 = 0.5^2)$$

(même qu'avant)

# Fusion de capteurs : moyenne pondérée

Capteurs  
non-identiques,  $\sigma_1^2 > \sigma_2^2$



$$z_1 = 10 + N(0, \sigma_1^2 = 1)$$

$$z_3 = (1-w)z_1 + wz_2$$

$$0 \leq w \leq 1$$

$$z_2 = 10 + N(0, \sigma_2^2 = 0.5^2)$$

# Preuve poids $w$ optimal

$$z_3 = (1-w)z_1 + wz_2$$

variances

$$\sigma_3^2 = (1-w)^2 \sigma_1^2 + w^2 \sigma_2^2 \quad (x_1 \text{ et } x_2 \text{ sont indépendants})$$

Pour minimiser fonction, cherche  $\frac{d}{dw} \sigma_3^2 = 0$

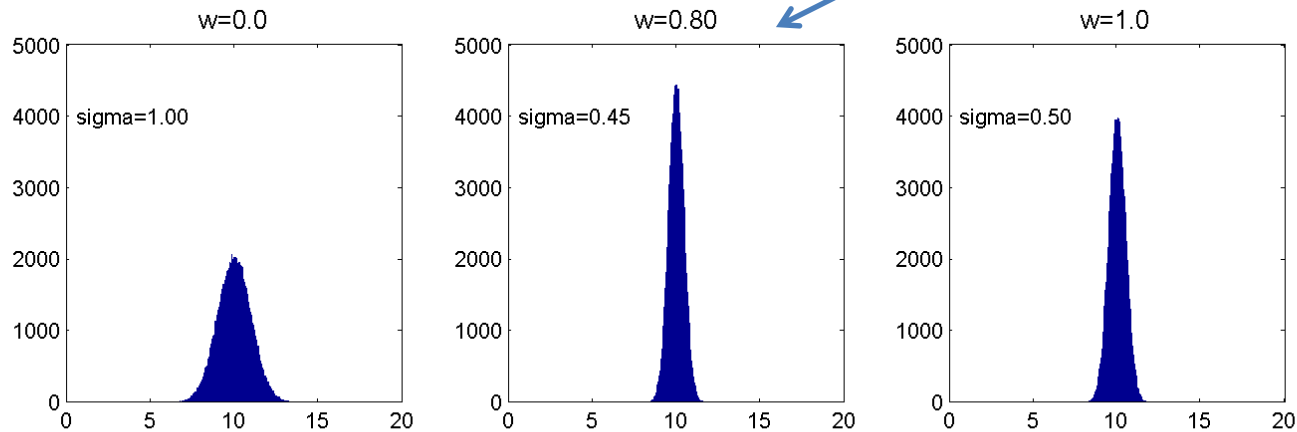
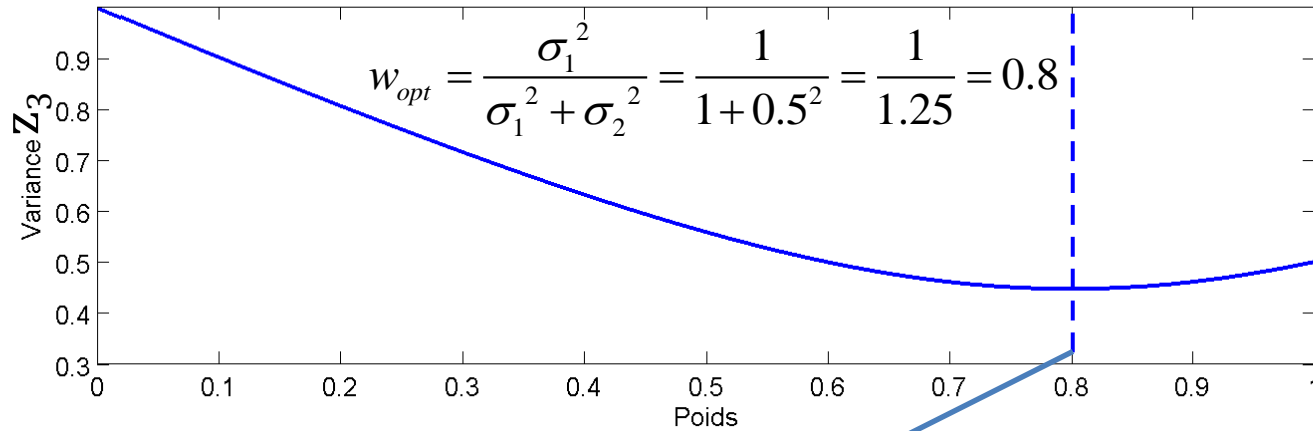
$$\frac{d}{dw} \sigma_3^2 = \frac{d}{dw} \left\{ (1-w)^2 \sigma_1^2 + w^2 \sigma_2^2 \right\} = 2(1-w)\sigma_1^2(-1) + 2w\sigma_2^2 = 0$$

$$2(w-1)\sigma_1^2 + 2w\sigma_2^2 = 0$$

Poids optimal minimisant variance  $z_3$  :

$$w = \frac{\sigma_1^2}{\sigma_1^2 + \sigma_2^2}$$

# Fusion de capteurs : moyenne pondérée



$$z_1 = 10 + N(0, \sigma_1^2 = 1^2)$$

$$z_3 = (1-w)z_1 + wz_2$$

$$z_2 = 10 + N(0, \sigma_2^2 = 0.5^2)$$

# Fusion de capteurs : résumé

- J'ai deux mesures :  $z_1$  et  $z_2$
- J'ai les variances associées :  $\sigma_1^2$  et  $\sigma_2^2$

combinaison optimale

$$z_3 = \frac{\sigma_2^2}{\sigma_1^2 + \sigma_2^2} z_1 + \frac{\sigma_1^2}{\sigma_1^2 + \sigma_2^2} z_2$$

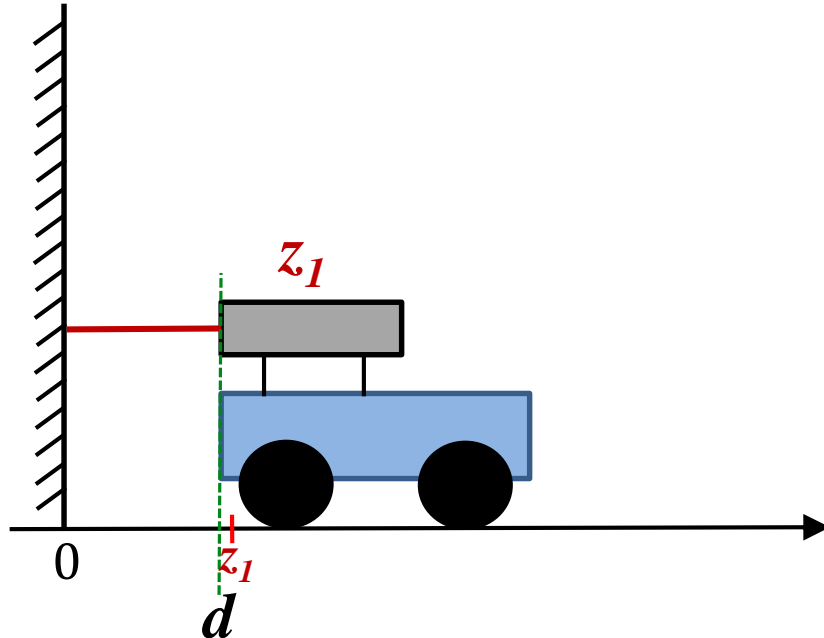
On fait plus confiance à la mesure ou l'évidence avec la plus petite variance  $\sigma^2$

# **Concept #2**

## **Moyenne au fil du temps**

# Moyenne au fil du temps

- Après chaque mesure  $z_t$ , avoir le meilleur estimé disponible de la position  $d$  d'un robot immobile
- Prendre plusieurs mesures du même capteur

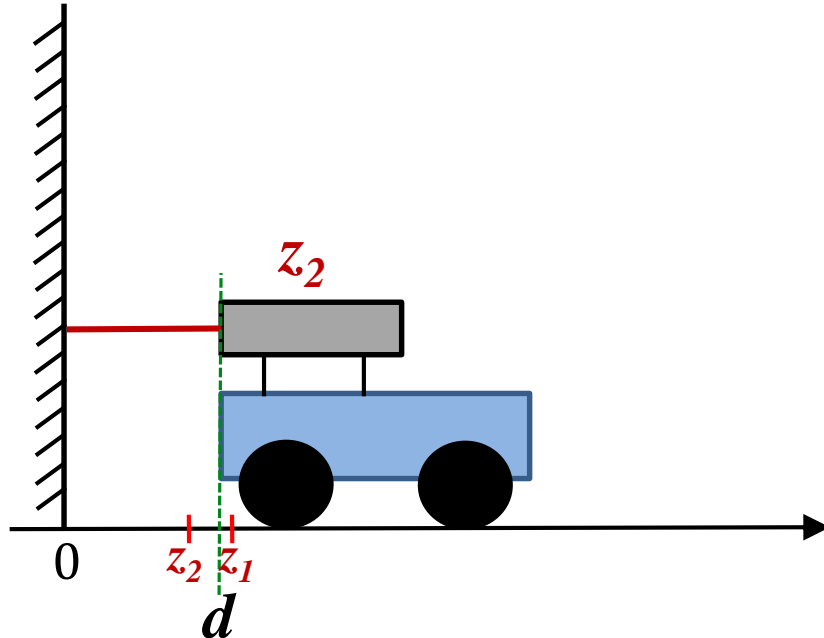


# Moyenne au fil du temps

- Après chaque mesure  $z_t$ , avoir le meilleur estimé disponible de la position  $d$  d'un robot immobile
- Prendre plusieurs mesures du même capteur

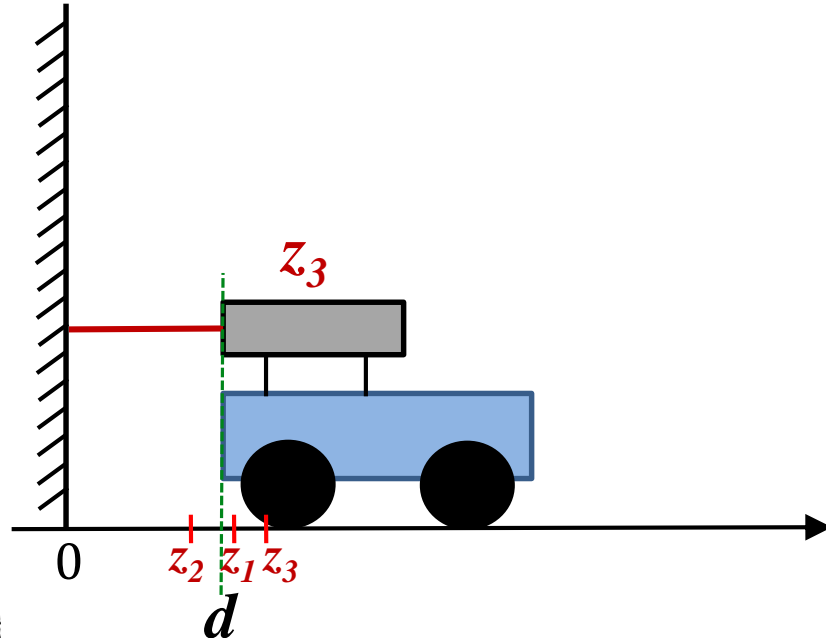
$$\hat{d}(1) = z_1$$

$$\hat{d}(2) = \frac{z_1 + z_2}{2}$$



# Moyenne au fil du temps

- Après chaque mesure  $z_t$ , avoir le meilleur estimé disponible de la position  $d$  d'un robot immobile
- Prendre plusieurs mesures du même capteur



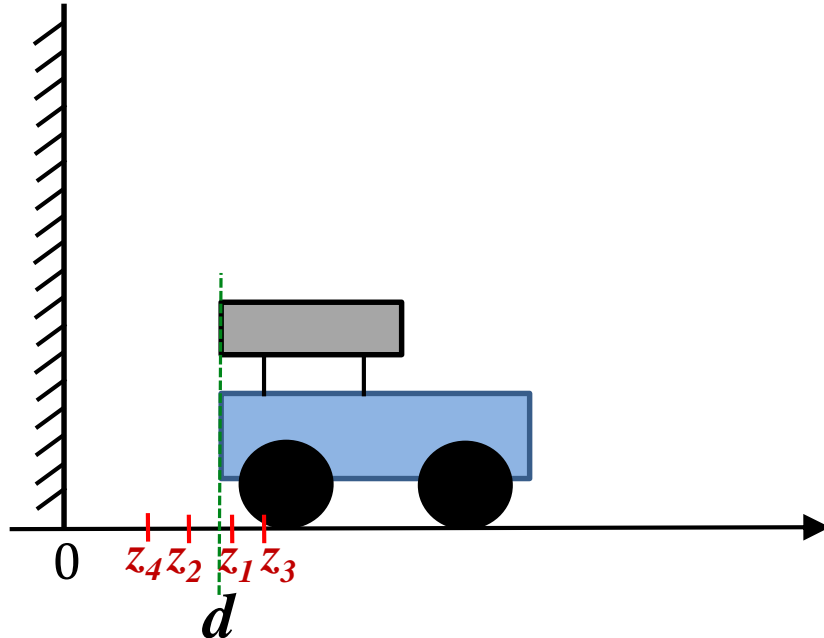
$$\hat{d}(1) = z_1$$

$$\hat{d}(2) = \frac{z_1 + z_2}{2}$$

$$\hat{d}(3) = \frac{z_1 + z_2 + z_3}{3}$$

# Moyenne au fil du temps

- Après chaque mesure  $z_t$ , avoir le meilleur estimé disponible de la position  $d$  d'un robot immobile
- Prendre plusieurs mesures du même capteur



$$\hat{d}(1) = z_1$$

$$\hat{d}(2) = \frac{z_1 + z_2}{2}$$

$$\hat{d}(3) = \frac{z_1 + z_2 + z_3}{3}$$

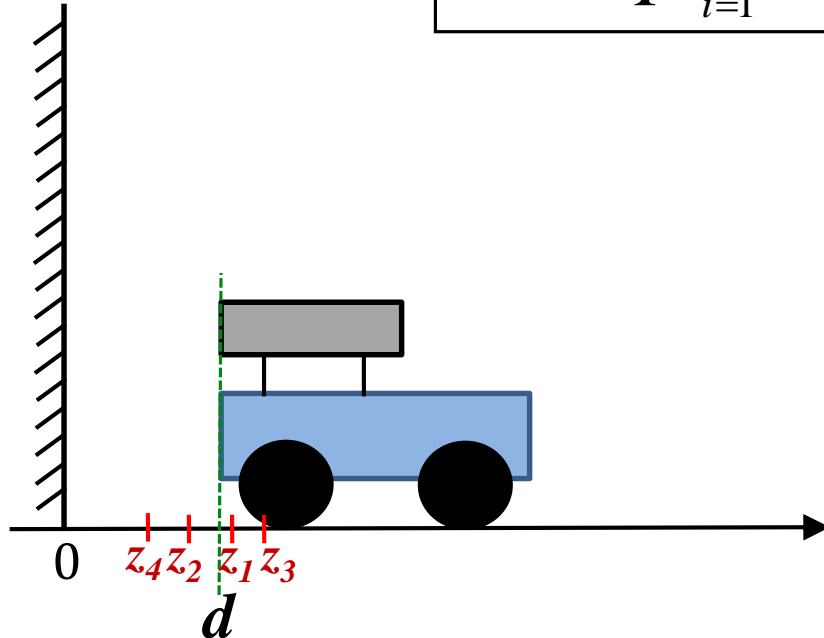
$$\hat{d}(4) = \frac{z_1 + z_2 + z_3 + z_4}{4}$$

etc...

# Moyenne au fil du temps

- Avec le temps, la série allonge... et le temps de calcul/espace de stockage pour les  $z_i$  aussi!

$$\hat{d}(t) = \frac{1}{T} \sum_{i=1}^T z_i$$



$$\hat{d}(1) = z_1$$

$$\hat{d}(2) = \frac{z_1 + z_2}{2}$$

$$\hat{d}(3) = \frac{z_1 + z_2 + z_3}{3}$$

$$\hat{d}(4) = \frac{z_1 + z_2 + z_3 + z_4}{4}$$

# Moyenne récurrente

- Garder en mémoire 2 variables :
  - estimé moyen  $\hat{x}(k)$  (*estimé de  $x$  à l'instant  $k$* )
  - estimé de la variance de cette moyenne de  $\hat{x}(k)$  :  $P(k)$
- On connaît la variance  $\sigma_z^2$  du capteur
- Après nouvelle mesure  $z(k+1)$ , on la combine avec  $\hat{x}(k)$  pour avoir un nouvel estimé  $\hat{x}(k+1)$ ,  $P(k+1)$   
*on a vu précédemment*

$$w = \frac{\sigma_1^2}{\sigma_1^2 + \sigma_2^2}$$

$$z_3 = (1-w)z_1 + wz_2$$

$$\text{var}\{z_3\} = \text{var}\{(1-w)z_1 + wz_2\}$$



*simple reformulation en posant*

$$w = \frac{P(k)}{P(k) + \sigma_z^2}$$

$$z_1 = \hat{x}(k)$$

$$z_2 = z(k+1)$$

$$z_3 = \hat{x}(k+1)$$

$$\hat{x}(k+1) = \hat{x}(k) + w(z(k+1) - \hat{x}(k))$$

$$P(k+1) = (1-w)P(k)$$

*variance diminue avec le temps*

# Preuve sur la variance $P(k)$

$$\hat{x}(k+1) = \hat{x}(k) + w(z(k+1) - \hat{x}(k))$$

$$\hat{x}(k+1) = (1-w)\hat{x}(k) + wz(k+1)$$

$$P(k) = \text{Var}\{\hat{x}(k)\}$$

$$w = \frac{P(k)}{P(k) + \sigma_z^2}$$

$$\text{Var}\{\hat{x}(k+1)\} = \text{Var}\{(1-w)\hat{x}(k) + wz(k+1)\}$$

$$\text{Var}\{\hat{x}(k+1)\} = (1-w)^2 \text{Var}\{\hat{x}(k)\} + w^2 \text{Var}\{z(k+1)\}$$

$$\text{Var}\{\hat{x}(k+1)\} = (1-w)^2 P(k) + w^2 \sigma_z^2$$

On choisi le poids optimal :  $w = \frac{P(k)}{P(k) + \sigma_z^2}$ , donc :  $\sigma_z^2 = P(k)\left(\frac{1}{w} - 1\right)$

$$\text{Var}\{\hat{x}(k+1)\} = (1-w)^2 P(k) + w^2 P(k)\left(\frac{1}{w} - 1\right)$$

$$\text{Var}\{\hat{x}(k+1)\} = (1-2w+w^2)P(k) + \frac{w^2 w}{w} P(k) - w^2 P(k)$$

$$\text{Var}\{\hat{x}(k+1)\} = (1-w)P(k)$$

# Exemple d'exécution

Soit les mesures suivantes :  $Z = \{z_1 = 10, z_2 = 12, z_3 = 11\}$   $\sigma_z^2 = 1$

$$\hat{x}(1) = z(1) = 10$$

$$P(1) = \sigma_z^2 = 1$$

$$w = \frac{P(k)}{P(k) + \sigma_z^2}$$

$$\hat{x}(k+1) = \hat{x}(k) + w(z(k+1) - \hat{x}(k))$$

$$P(k+1) = (1-w)P(k)$$

$$z(2) = 12$$
$$w = \frac{P(1)}{P(1) + \sigma_z^2} = \frac{1}{1+1} = \frac{1}{2}$$

$$\hat{x}(2) = \hat{x}(1) + w(z(2) - \hat{x}(1)) = 10 + \frac{1}{2}(12 - 10) = 11$$

$$P(2) = (1 - \frac{1}{2})P(1) = \frac{1}{2}$$

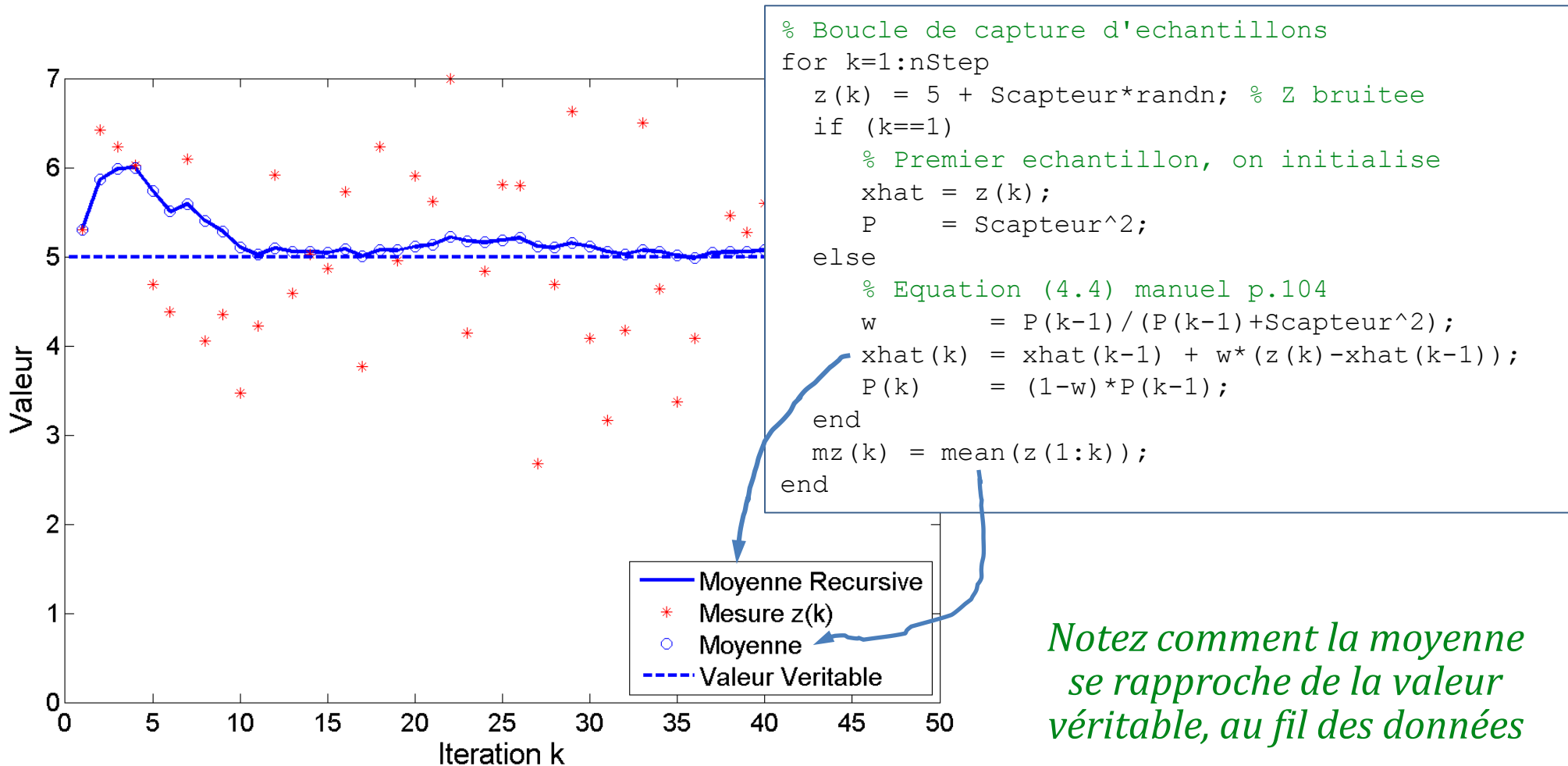
$$z(3) = 11$$
$$w = \frac{P(2)}{P(2) + \sigma_z^2} = \frac{1/2}{1/2+1} = \frac{1}{3}$$

$$\hat{x}(3) = \hat{x}(2) + w(z(3) - \hat{x}(2)) = 11 + \frac{1}{3}(11 - 11) = 11$$

$$P(3) = (1 - \frac{1}{3})P(2) = \frac{1}{3}$$

**On peut donc oublier  
les mesures  $z_i$  après  
les mises-à-jour**

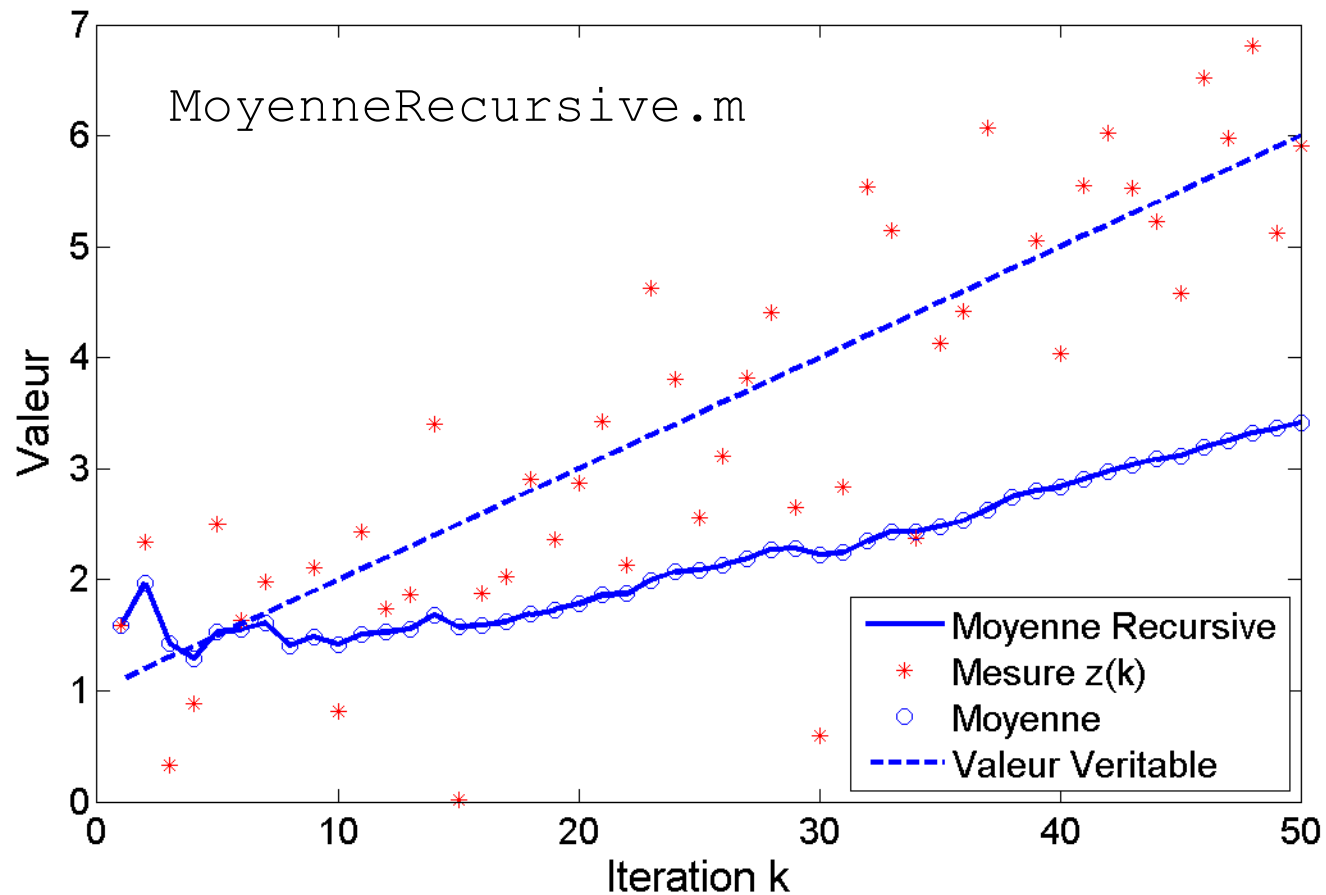
# Implémentation filtre récursif *matlab*



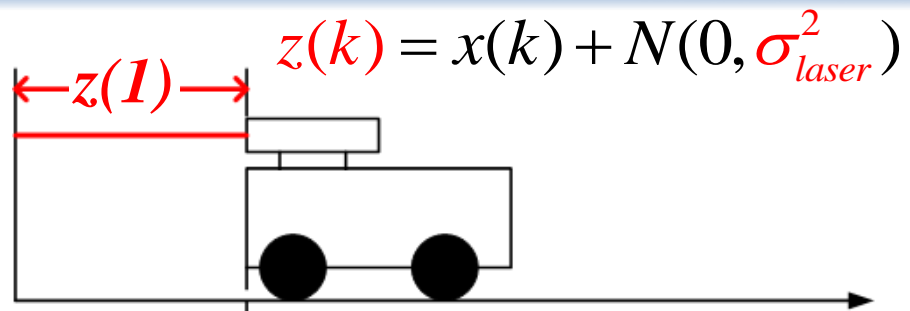
*Notez comment la moyenne se rapproche de la valeur véritable, au fil des données*

# Moyenne si la valeur réelle change...

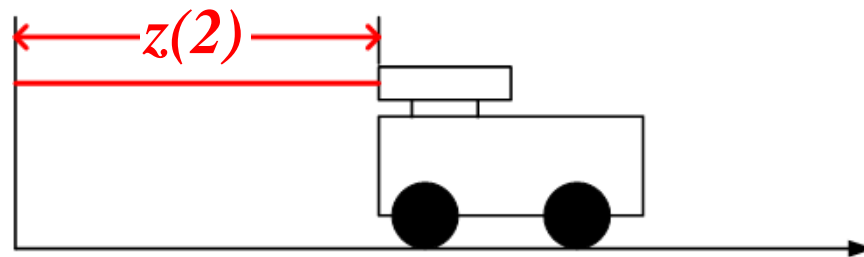
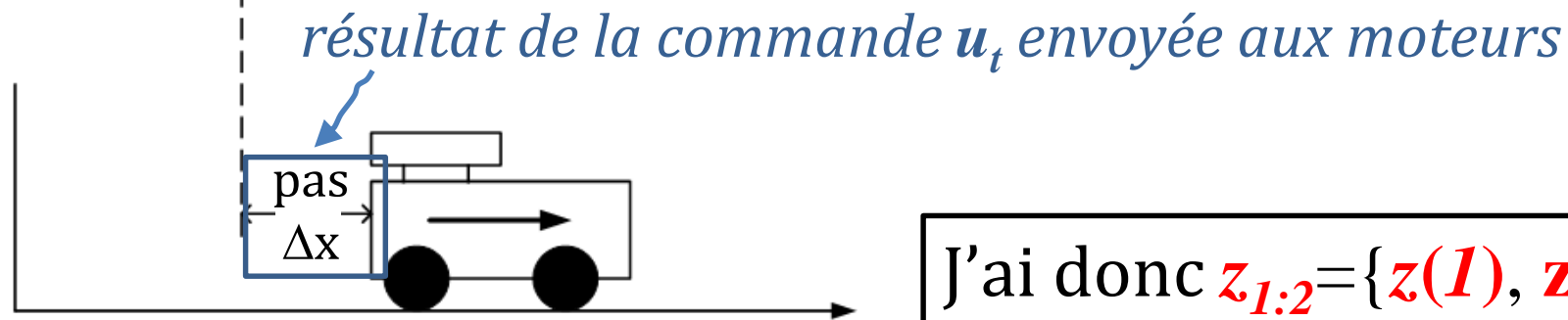
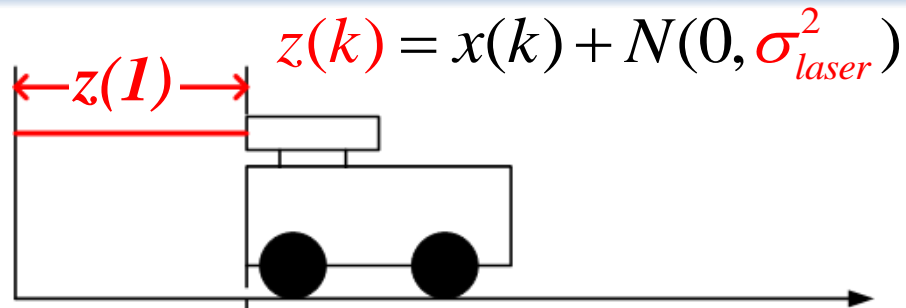
- Si le robot se déplace... la moyenne perd de son sens



# Combiner mesures différents endroits

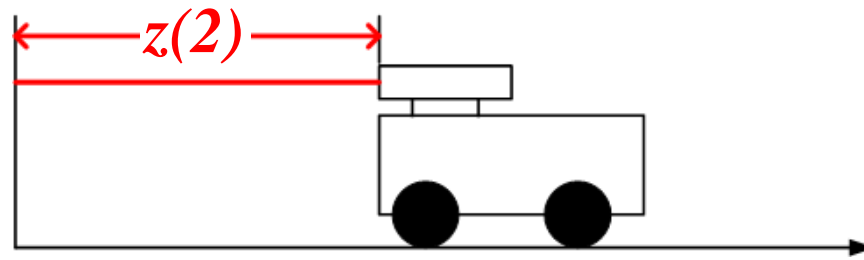
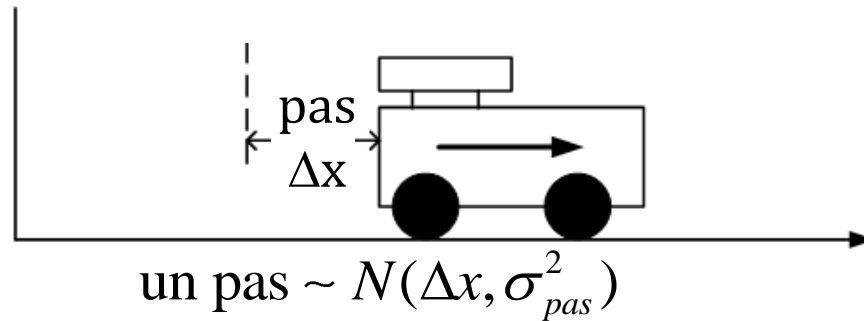
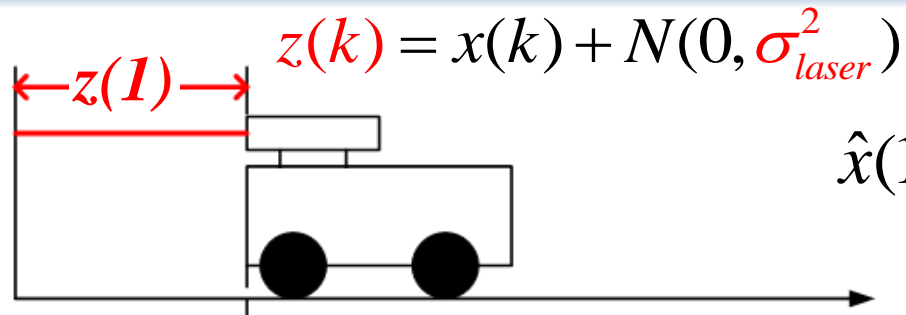


# Combiner mesures différents endroits



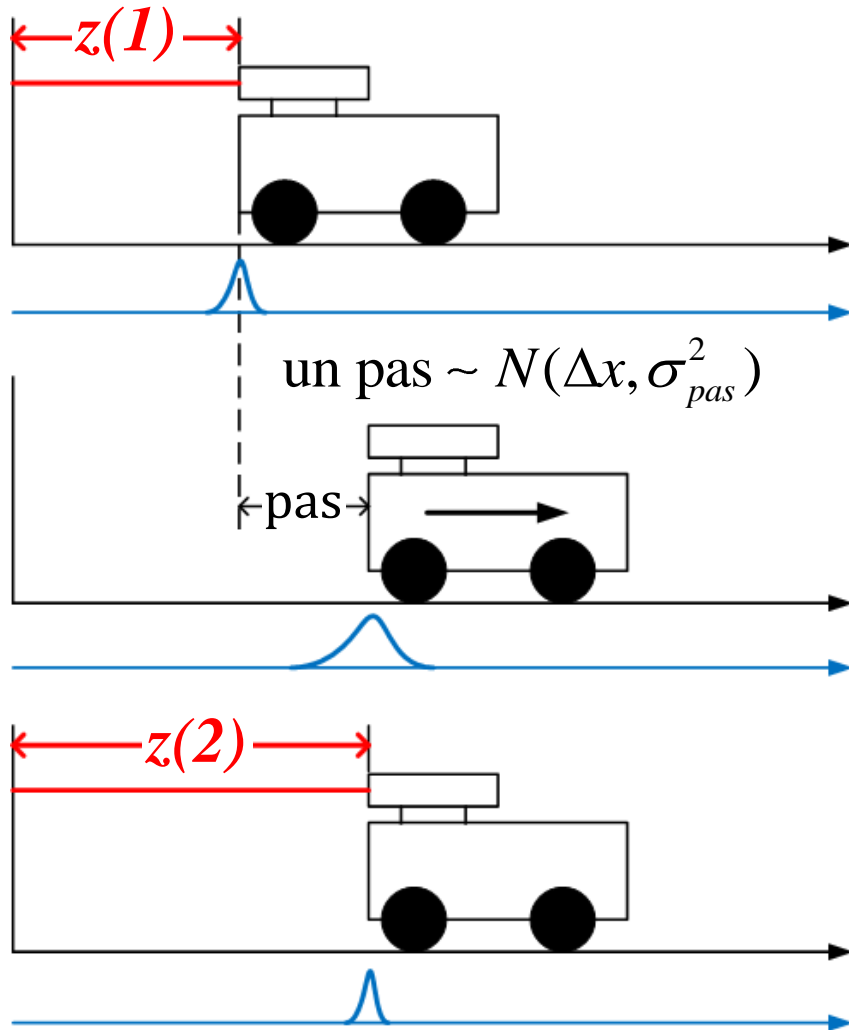
J'ai donc  $z_{1:2} = \{z(1), z(2)\}$   
et  $u_{1:1} = \{u(1)\}$

# Combiner mesures différents endroits



*innovation*

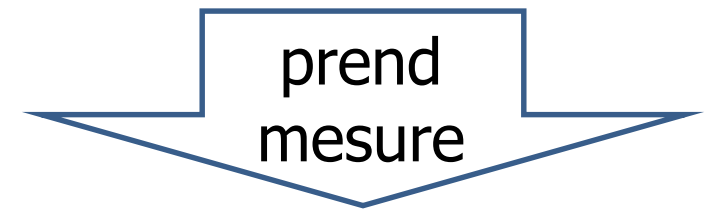
# Combiner mesures différents endroits



$$\hat{x}(1) = z(1) \qquad P(1) = \sigma_{laser}^2$$



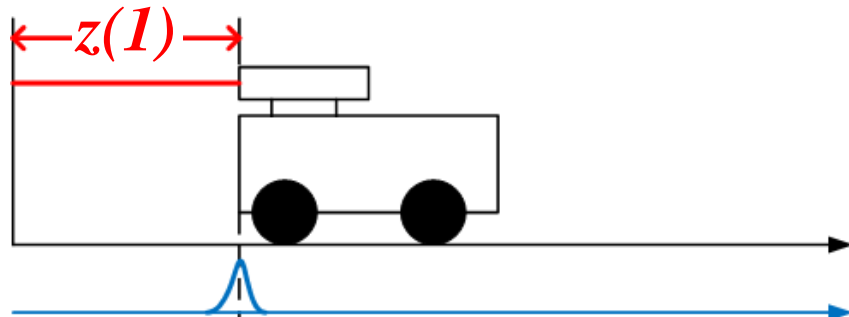
$$\hat{x}(2|1) = \hat{x}(1) + \Delta x \qquad P(2|1) = P(1) + \sigma_{pas}^2$$



moyenne récurrente

$$\left\{ \begin{array}{l} w = \frac{P(2|1)}{P(2|1) + \sigma_{laser}^2} \text{ innovation} \\ \hat{x}(2) = \hat{x}(2|1) + w(z(2) - \hat{x}(2|1)) \\ P(2) = (1-w)P(2|1) \end{array} \right.$$

# Combiner mesures différents endroits



$$\hat{x}(1) = z(1)$$

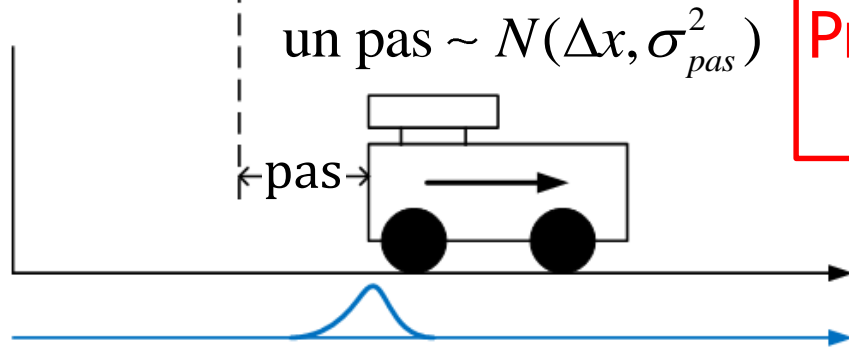
$$P(1) = \sigma^2_{laser}$$

avance  
d'un pas

**Prédiction**

$$\hat{x}(2|1) = \hat{x}(1) + \Delta x$$

$$P(2|1) = P(1) + \sigma^2_{pas}$$



prend  
mesure

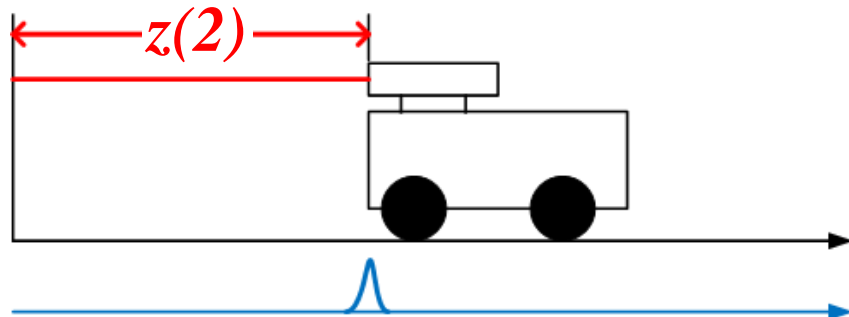
**Mise à jour**

moyenne  
régressive

$$w = \frac{P(2|1)}{P(2|1) + \sigma^2_{laser}}$$

$$\hat{x}(2) = \hat{x}(2|1) + w(z(2) - \hat{x}(2|1))$$

$$P(2) = (1 - w)P(2|1)$$



# Estimation d'état du robot

---

- On estime l'endroit le plus probable où le robot se situe à l'instant  $k$ :

$$\hat{x}(k)$$

- Il faut aussi la confiance de cet estimé (variance), pour savoir comment incorporer les mesures  $z$  :

$$P(k) \approx \text{var} \{ \hat{x}(k) \}$$

# Estimation d'état du robot

- Quelles sont les variables qui nous intéressent ?

– pose statique du robot :  $[x \ y \ \theta]$

– état dynamique du robot :  $[x \ y \ \theta \ \dot{x} \ \dot{y} \ \dot{\theta}]$

– certains paramètres d'un capteur qui évoluent lentement dans le temps (bias de gyro)

– l'endroit et la signature des objets dans l'environnement

- Idéalement l'état est choisi pour être **complet** :  
propriété Markov
  - rarement vrai, mais souvent est une bonne approximation

traités  
principalement  
dans le cours

# **Estimation d'état :**

# **Filtrage Bayésien**

# Problème de localisation

---

- Je suis parti de  $x_0$
- J'ai exécuté les commandes de déplacement / mesures odométriques\*  $u_1 \dots u_t$
- J'ai pris les mesures  $z_1 \dots z_t$  (*extéroceptives en général*)
- Où suis-je à l'instant  $t$ ? ( $x_t$ ) (*filtrage*)

# Problème de localisation

$$bel(x_t) = p(x_t \mid z_{1:t}, u_{1:t})$$

$bel()$  : *belief* ou croyance (raccourci de notation)

$x_t$  : pose du robot au temps présent

$u_{1:t}$  : toutes les commandes passées envoyées aux actionneurs

$$u_{1:t} = \{u_1, u_2, \dots, u_t\}$$

$z_{1:t}$  : toutes les mesures passées provenant des capteurs

Simple en apparence, mais imaginez 1000 commandes  $u_t$  et 1000 mesures  $z_t$ ... une équation avec au moins 2000 termes?

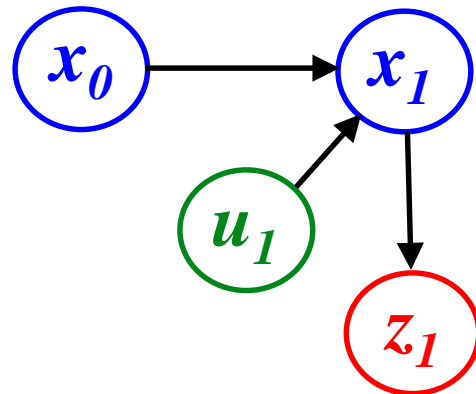
**Solution** : va falloir ajouter des simplifications!

# Simplification : État $x$ complet (Markovien)

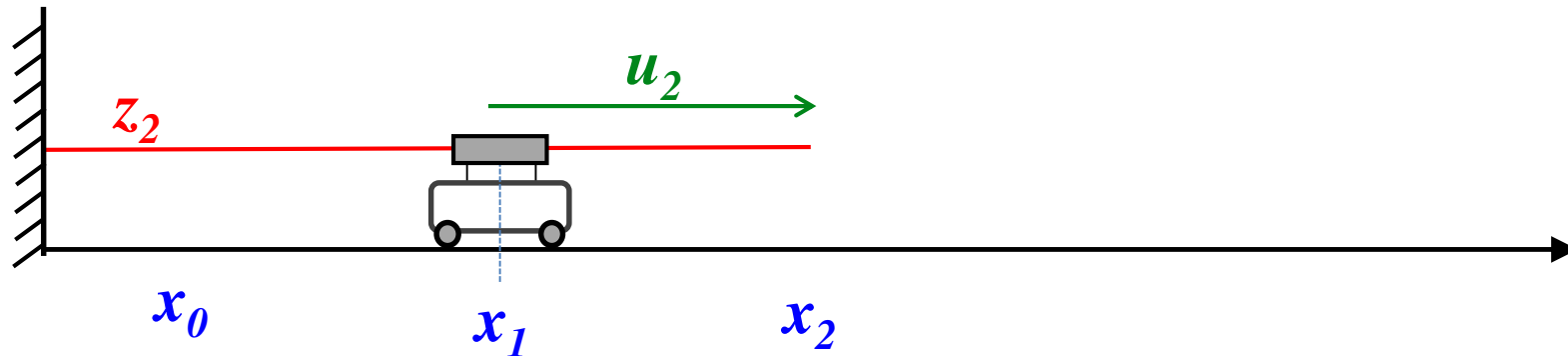


Graphe des dépendances

B ← dépend de... A



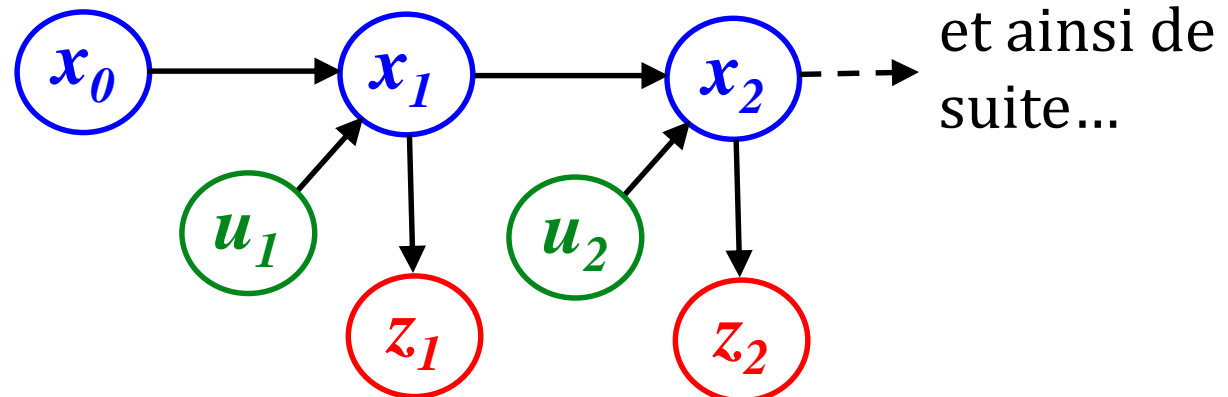
# Simplification : État $x$ complet (Markovien)



Ces dépendances vont nous permettre de résoudre  $bel(x_t)$  de façon récursive

Graphe des dépendances

B ← dépend de... A



# Simplification par indépendances des variables

$x$  : état du robot (position, angle, etc.)

$u$  : commandes envoyées aux actionneurs

$z$  : mesures provenant des capteurs

$$p(x_t | x_{0:t-1}, z_{1:t-1}, u_{1:t}) = p(x_t | x_{t-1}, u_t) \text{ motion model / modèle de déplacement}$$

Incertitude augmente

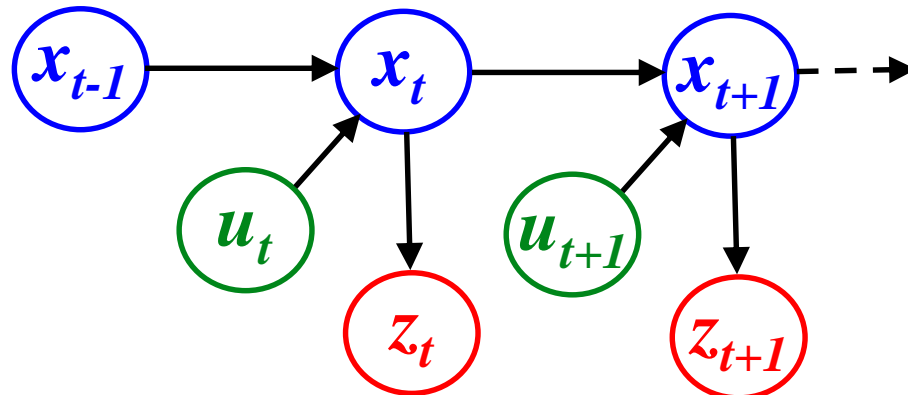
*(après la commande  $u_t$ , avant la mesure  $z_t$ )*

$$p(z_t | x_{0:t}, z_{1:t-1}, u_{1:t}) = p(z_t | x_t) \text{ sensor model / modèle de capteur}$$

Incertitude diminue

*(Après tout, les mesures  $z$  ne dépendent que de la pose du robot)*

$p(A | B) = p(A)$   
si  $B$  n'apporte aucune information sur  $A$



# Filtrage Bayésien : formule générique

**Algorithme** FiltreBayes ( $bel(x_{t-1}), u_t, z_t$ )

**for all**  $x_t$  **do**

$$bel_{pred}(x_t) = \int p(x_t | u_t, x_{t-1}) bel(x_{t-1}) dx_{t-1} \quad (1)$$

$$bel(x_t) = \eta p(z_t | x_t) bel_{pred}(x_t) \quad (2)$$

**endfor**

**return**  $bel(x_t)$

- On doit avoir :
  - *belief* original  $bel(x_0)$
  - probabilité de transition d'état :  $p(x_t | u_t, x_{t-1})$
  - modèle du capteur  $p(z_t | x_t)$

On cherche :  $bel(x_t) = p(x_t | z_{1:t}, u_{1:t})$

Preuve filtrage Bayésien récursif

**Théorème de Bayes :**  $p(A | B, C)p(B | C) = p(B | A, C)p(A | C)$   
 (avec extra conditionnelle C)

$$p(x_t | z_t, z_{1:t-1}, u_{1:t})p(z_t | z_{1:t-1}, u_{1:t}) = p(z_t | x_t, z_{1:t-1}, u_{1:t})p(x_t | z_{1:t-1}, u_{1:t})$$

extrait la dernière mesure

constante, car ne dépend pas de  $x_t$

$$p(x_t | z_t, z_{1:t-1}, u_{1:t}) = \eta p(z_t | x_t, z_{1:t-1}, u_{1:t})p(x_t | z_{1:t-1}, u_{1:t})$$

**État  $x_t$  complet (Markov)**  
 $p(z_t | x_t, z_{1:t-1}, u_{1:t}) = p(z_t | x_t)$

(2)

$$p(x_t | z_t, z_{1:t-1}, u_{1:t}) = \eta p(z_t | x_t) p(x_t | z_{1:t-1}, u_{1:t})$$

**Probabilités totales**  
 $p(A | C) = \int p(A | B, C)p(B | C)dB$

$$p(x_t | z_{1:t-1}, u_{1:t}) = \int p(x_t | x_{t-1}, z_{1:t-1}, u_{1:t})p(x_{t-1} | z_{1:t-1}, u_{1:t})dx_{t-1}$$

**État  $x_{t-1}$  complet (Markov)**  
 $p(x_t | x_{t-1}, z_{1:t-1}, u_{1:t}) = p(x_t | x_{t-1}, u_t)$

$$p(x_t | z_{1:t-1}, u_{1:t}) = \int p(x_t | x_{t-1}, u_t)p(x_{t-1} | z_{1:t-1}, u_{1:t})dx_{t-1}$$

**Théorème d'indépendance**  
 $p(A | B) = p(A)$  si A, B indép.

$x_{t-1}$  et  $u_t$  sont indépendants  
 car  $u_t$  arrive après  $x_{t-1}$

$Bel_{pred}(x_t)$  (1)

$$p(x_t | z_{1:t-1}, u_{1:t}) = \int p(x_t | x_{t-1}, u_t)p(x_{t-1} | z_{1:t-1}, u_{1:t-1})dx_{t-1} = \int p(x_t | x_{t-1}, u_t)bel(x_{t-1})dx_{t-1}$$

# Filtrage Bayésien

Algorithme  
récuratif

```
Algorithme FiltreBayes ( $bel(x_{t-1}), u_t, z_t$ )
  for all  $x_t$  do
    Prédiction  $\longrightarrow$   $bel_{pred}(x_t) = \int p(x_t | u_t, x_{t-1}) bel(x_{t-1}) dx_{t-1}$  (1)
    Mise-à-jour  $\longrightarrow$   $bel(x_t) = \eta p(z_t | x_t) bel_{pred}(x_t)$  (2)
  endfor
  return  $bel(x_t)$ 
```

$bel()$  : *belief* ou croyance (raccourci de notation)

$u_t$  : commande au temps  $t$

$z_t$  : mesure au temps  $t$ , après la commande  $u_t$

$x_t$  : pose du robot au temps  $t$ , après  $u_t$  et  $z_t$

$\eta$  : facteur de normalisation

**Difficile à implémenter exactement car pas toujours de solution analytique de l'intégrale (1)/produit (2)**

# Quand aura-t-on une solution analytique?

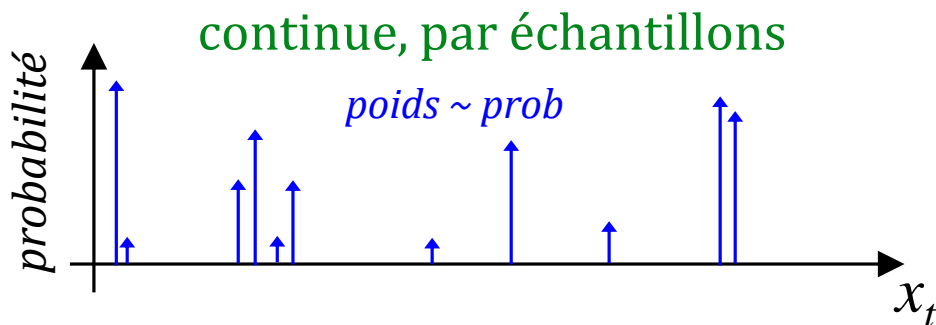
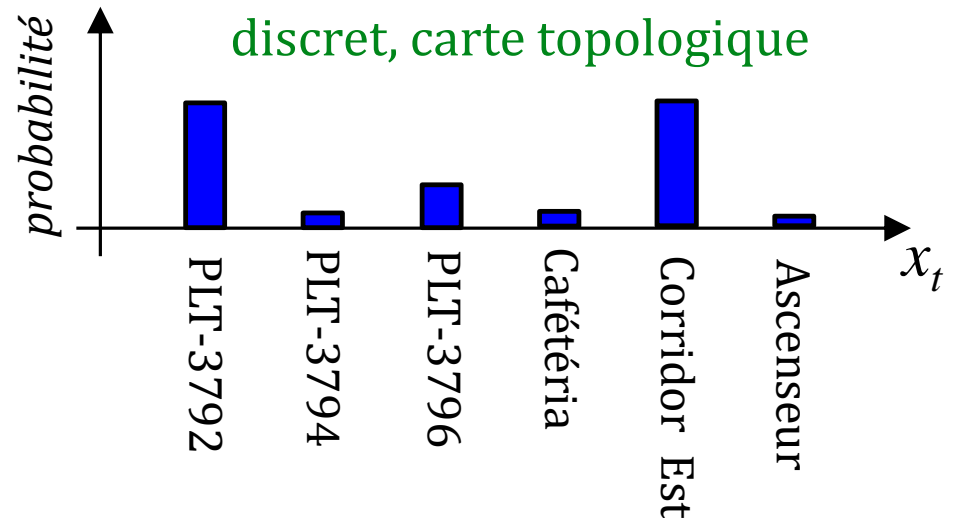
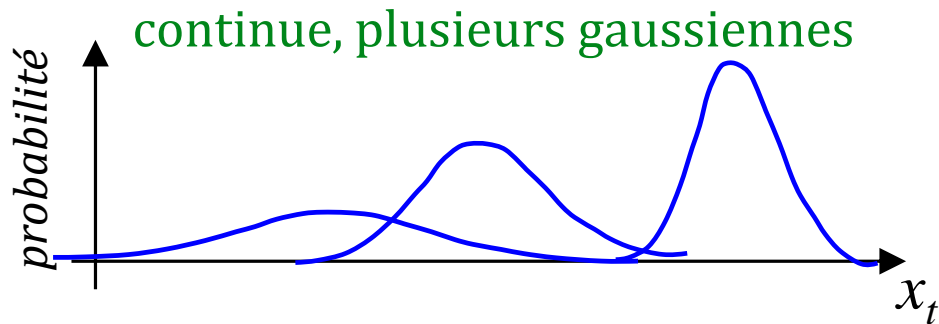
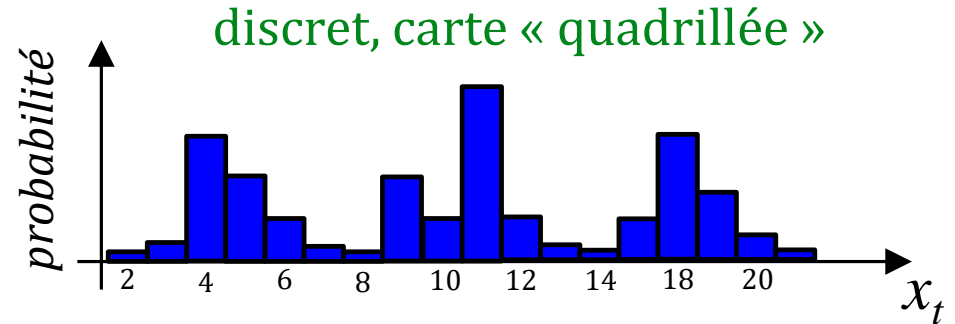
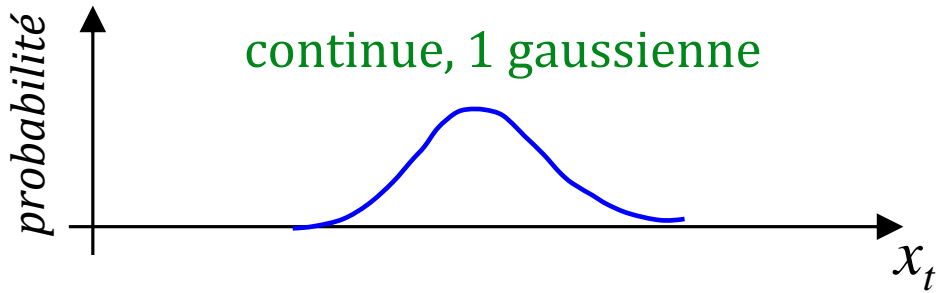
- Les équations à calculer sont

$$bel_{pred}(x_t) = \int p(x_t | u_t, x_{t-1}) bel(x_{t-1}) dx_{t-1}$$

$$bel(x_t) = \eta p(z_t | x_t) bel_{pred}(x_t)$$

- Solution analytique à ces équations si :
  - $bel( )$  est gaussien
  - les équations du systèmes sont linéaires
  - les bruits sont gaussiens
- Dans les autres cas, il faudra approximer

# Exemple 1D représentation du $bel(x_t)$



La réalité va dicter la représentation de  $Bel(x_t)$

Cette représentation dictera le type de filtre Bayésien utilisé

**Filtre Bayésien avec gaussiennes +  
équations linéaires :  
Filtre de Kalman**

# Différents filtres de Kalman

- Fusion de capteurs <sup>estimés + mesures</sup>
  - combiner évidences de façon optimal

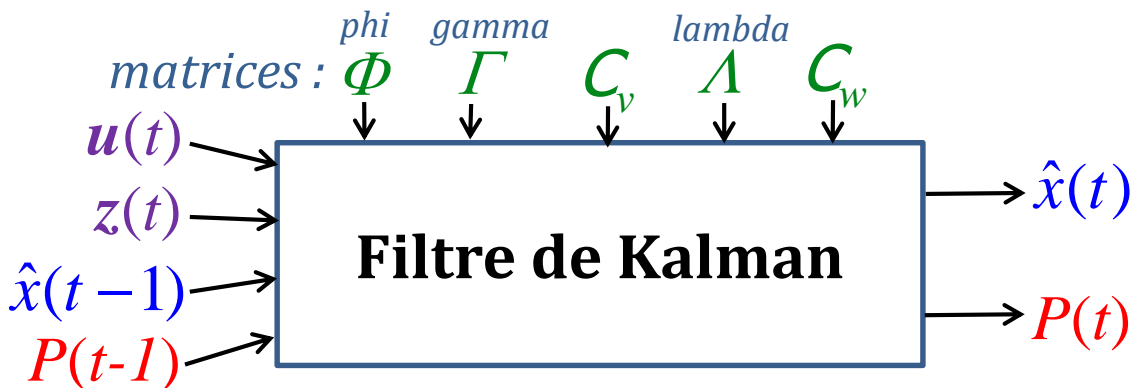
} **concept clef #1**
- Fusion de mesures dans le temps
  - moyenne réursive

} **concept clef #2**
- Fusion de capteurs avec déplacement :  
estimation d'état (pour distributions Gaussiennes)
  - Filtre de Kalman (linéaire)
  - Filtre de Kalman étendu (non-linéaire)
  - Filtre de Kalman non-parfumé (non-linéaire)

} **#1+ #2**
- Ce sont tous des filtres Bayésiens

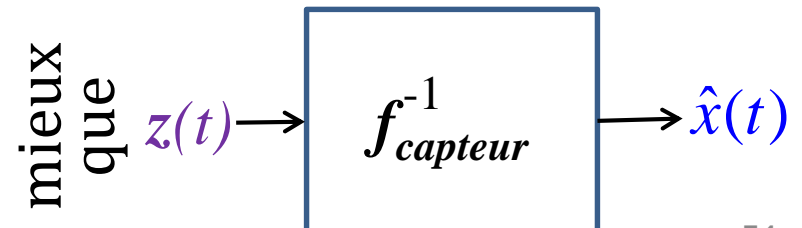
# Filtre de Kalman

- « Boîte noire » d'équations *(toujours les mêmes, peu importe le système)*
- Paramètres qui décrivent le comportement du système
- Système dynamique, mesures incomplètes\* ou bruitées
- En entrée : commandes  $u(t)$  et mesures  $z(t)$  + estimé précédent  $\hat{x}(t-1)$  et sa covariance estimée  $P(t-1)$
- En sortie : nouvel estimé de la pose  $\hat{x}(t)$  + covariance  $P(t)$



\* Je mesure (observe)  $x, y$  mais je veux connaître  $\theta$ .

- Pourquoi? Pour avoir  $\hat{x}(t)$  plus précis qu'avec seulement  $z(t)$



# Équations du filtre de Kalman (aperçu)

Voici la « boîte noire »

*(suite d'équations matricielles : système linéaire)*

$$(1) \hat{x}(k+1|k) = \Phi \hat{x}(k) + \Gamma u(k)$$

$$(2) P(k+1|k) = \Phi P(k) \Phi^T + C_v$$

$$(3) \hat{z}(k+1|k) = \Lambda \hat{x}(k+1|k)$$

$$(4) r(k+1) = z(k+1) - \hat{z}(k+1|k)$$

$$(5) K(k+1) = P(k+1|k) \Lambda^T \{ \Lambda P(k+1|k) \Lambda^T + C_w(k+1) \}^{-1}$$

$$(6) \hat{x}(k+1) = \hat{x}(k+1|k) + K(k+1)r(k+1)$$

$$(7) P(k+1) = (I - K(k+1)\Lambda)P(k+1|k)$$

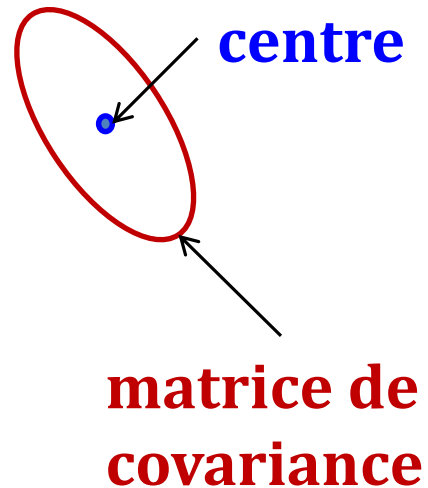
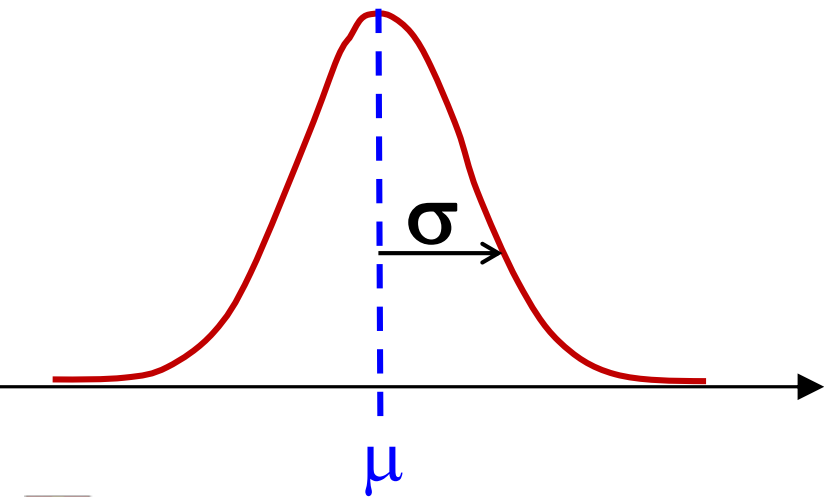
Exécuté à chaque itération  $k$  :

- 1 vecteur commande  $u(k)$
- un vecteur de mesures  $z(k)$

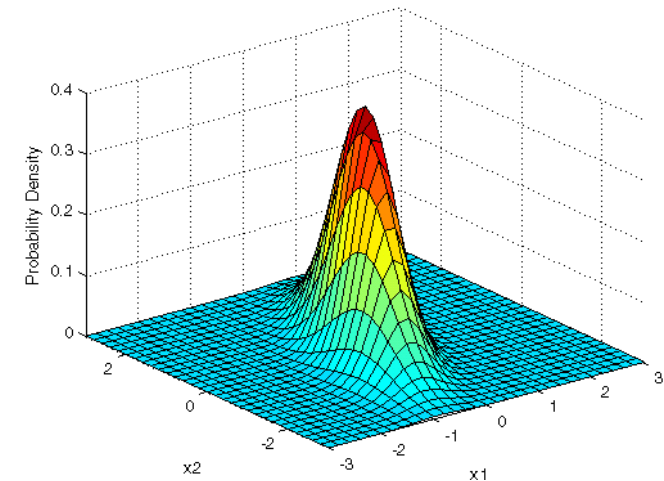
# Filtre de Kalman

- Utiliser la connaissance de la dynamique du système pour réduire l'impact du bruit
- L'état+incertitude du système seront représentés par des gaussiennes multidimensionnelles

1D



2D



# Gaussienne multivariée dimension $k$

$$f_X(\vec{x}) = \frac{1}{\sqrt{(2\pi)^k |\Sigma|}} \exp\left(-\frac{1}{2}(\vec{x} - \vec{\mu})^T \Sigma^{-1}(\vec{x} - \vec{\mu})\right)$$

$|\Sigma|$  ← déterminant

$$\vec{x} = \begin{bmatrix} x_1 \\ \vdots \\ x_k \end{bmatrix}, \quad \vec{\mu} = \begin{bmatrix} \mu_1 \\ \vdots \\ \mu_k \end{bmatrix}$$

$$\Sigma_{ij} = \text{cov}(X_i, X_j) = E[(X_i - \mu_i)(X_j - \mu_j)]$$

matrice carrée des covariances  $\Sigma =$

*(symétrique, définie positive)*

$$\Sigma = \begin{bmatrix} \sigma_{x_1}^2 & \sigma_{x_1x_2} & \sigma_{x_1x_3} \\ \sigma_{x_1x_2} & \sigma_{x_2}^2 & \sigma_{x_2x_3} \\ \sigma_{x_1x_3} & \sigma_{x_2x_3} & \sigma_{x_3}^2 \end{bmatrix}$$

Soit  $M$  une **matrice symétrique** réelle d'ordre  $n$ . Elle est dite **définie positive** si elle vérifie l'une des trois propriétés équivalentes suivantes :

1. Pour toute matrice colonne **non nulle**  $\mathbf{x}$  à  $n$  éléments réels, on a

$${}^t\mathbf{x}M\mathbf{x} > 0.$$

(autrement dit, la **forme quadratique** définie par  $M$  est strictement positive pour  $\mathbf{x} \neq \mathbf{0}$ )

2. Toutes les **valeurs propres** de  $M$  sont strictement positives, c'est-à-dire :

$$\text{Sp}(M) \subset ]0, +\infty[.$$

3. La **forme bilinéaire** symétrique définie par la relation

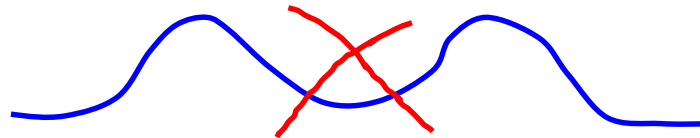
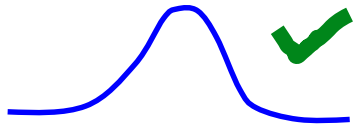
$$\langle \mathbf{x}, \mathbf{y} \rangle_M = {}^t\mathbf{x}M\mathbf{y}$$

est un **produit scalaire** sur  $\mathbb{E}^n$  (identifié ici à l'espace vectoriel des matrices colonnes à  $n$  éléments réels).

# Filtre Kalman : estimateur optimal

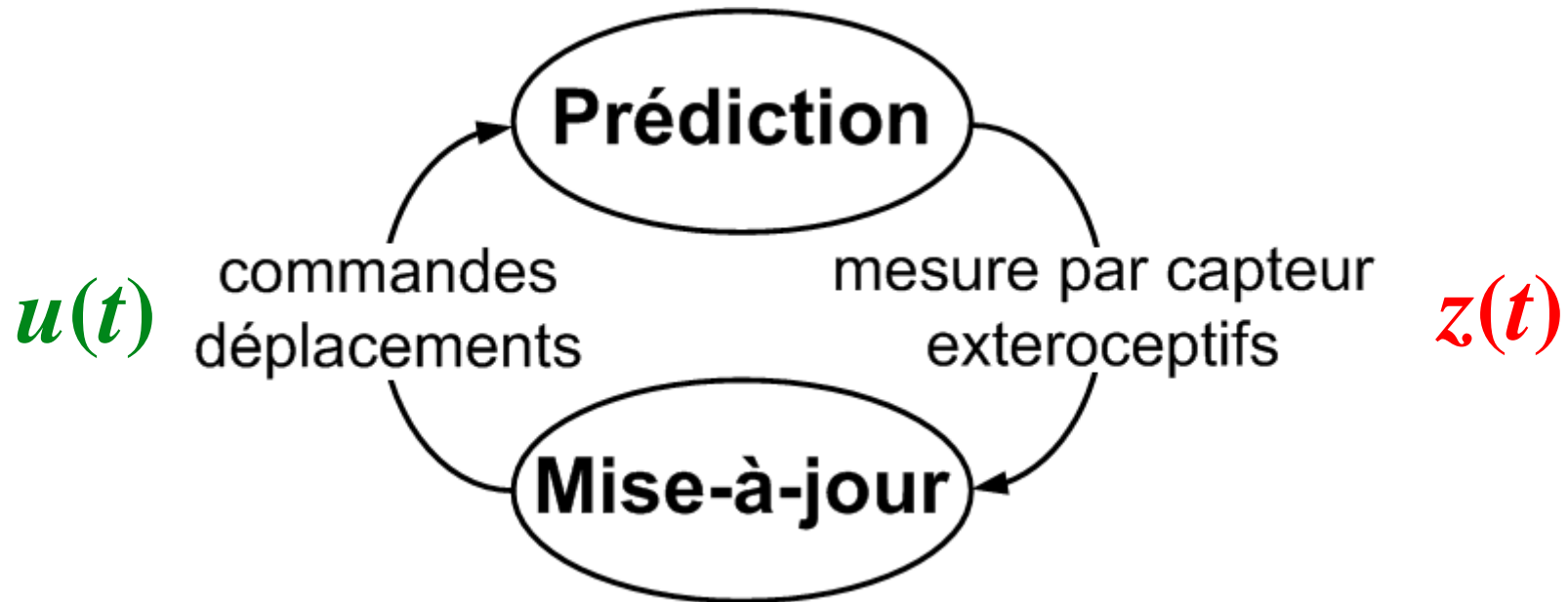
## Pré-requis:

- Modèle du système est linéaire  $\hat{x}(k+1|k) = \Phi\hat{x}(k) + \Gamma u(k)$
- Modèle du capteur est linéaire  $\hat{z}(k+1|k) = \Lambda\hat{x}(k+1|k)$
- Bruits sont gaussiens, avec moyennes nulles. capteur non-biaisé
- État est caractérisé par une moyenne et covariance  $\rightarrow$  distribution unimodale



- Covariance est un bon indicateur de la confiance
- État  $x(k)$  est complet : propriété de Markov

# Estimation d'état



un tour de la boucle par cycle  
déplacement-mesure

# Modèle linéaire du système

- Modèle de la dynamique du **systeme** **Bruit Gaussien**

$$x(k+1) = \Phi(k)x(k) + \Gamma(k)u(k) + v(k)$$

modèle matriciel  
de transition d'état

modèle matriciel  
des commandes

actions

$$v(k) \sim N(0, \sigma_v^2)$$

( $\Phi(k)$  signifie que  $\Phi$  peut varier en fonction du temps)

*(Ceci n'est pas l'équation du filtre, mais comment le système fonctionne. On n'ajoute pas du bruit dans le filtre. Il en va de même pour les acétates suivantes sur les modèles).*

# Modèle linéaire du système

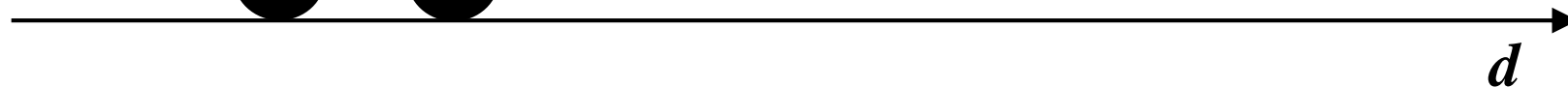
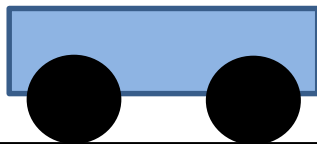
- Modèle de la dynamique du **systeme** Bruit Gaussien

$$x(k+1) = \Phi(k)x(k) + \underbrace{\Gamma(k)u(k)}_{\text{actions}} + v(k)$$

- Exemple

État :  $x = [d]$  (mètres)

Commande :  $u = [\delta_d]$  (mètres)



$$d(k+1) = d(k) + \delta_d(k) + v(k)$$

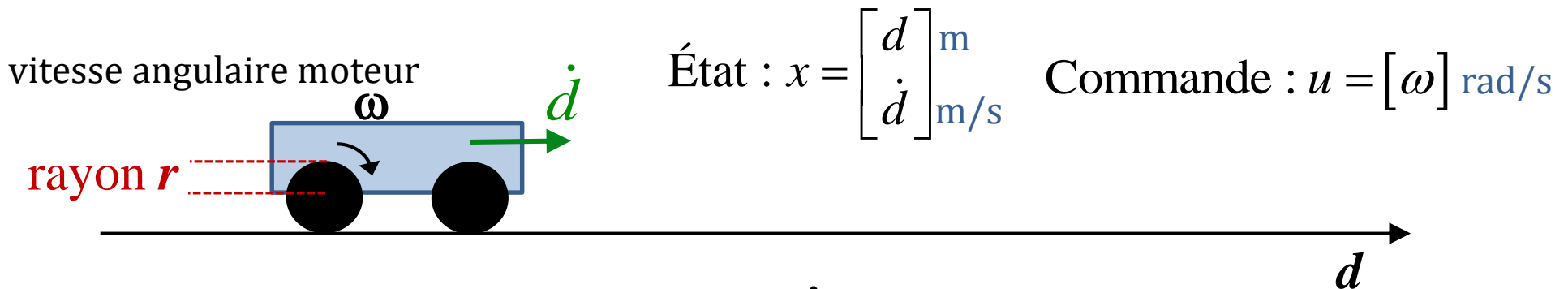
$$x(k+1) = x(k) + u(k) + v(k)$$

$$\Phi = [1] \quad \Gamma = [1] \quad v \sim \mathcal{N}(0, \sigma_{pas}^2)$$

# Modèle linéaire du système (2)

- Modèle dynamique système actions Bruit Gaussien

$$x(k+1) = \Phi(k)x(k) + \Gamma(k)u(k) + v(k)$$



$$d(k+1) = d(k) + \dot{d}(k)\Delta t + v_r(k) \leftarrow \text{roches...}$$

$$\dot{d}(k+1) = r(\omega(k) + v_\omega(k))$$

$$x(k+1) = \begin{bmatrix} d(k+1) \\ \dot{d}(k+1) \end{bmatrix} = \underbrace{\begin{bmatrix} 1 & \Delta t \\ 0 & 0 \end{bmatrix}}_{\Phi} \underbrace{\begin{bmatrix} d(k) \\ \dot{d}(k) \end{bmatrix}}_x + \underbrace{\begin{bmatrix} 0 \\ r \end{bmatrix}}_{\Gamma} \underbrace{\begin{bmatrix} \omega(k) \end{bmatrix}}_u + \begin{bmatrix} v_r(k) \\ rv_\omega(k) \end{bmatrix}$$

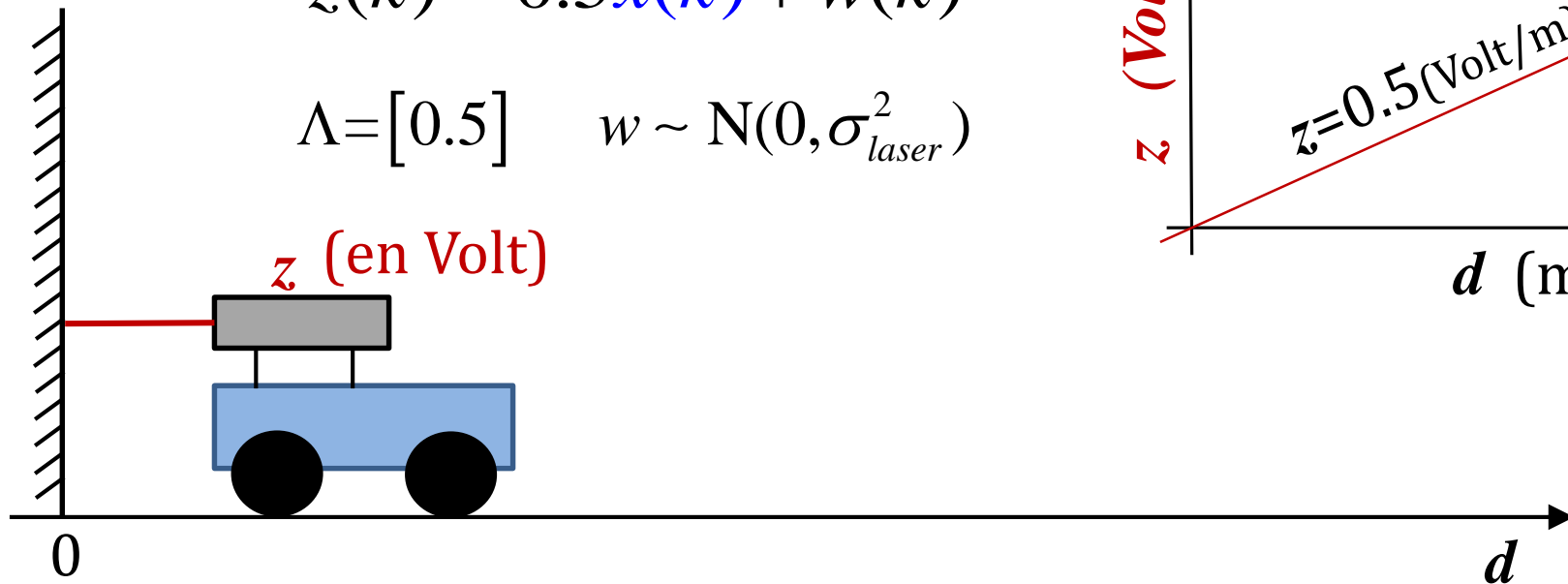
# Modèle linéaire du capteur

État :  $x = [d]$  (mètres)

$$z(k) = \Lambda(k)x(k) + w(k) \leftarrow \text{Bruit Gaussien}$$

$$z(k) = 0.5x(k) + w(k)$$

$$\Lambda = [0.5] \quad w \sim N(0, \sigma_{laser}^2)$$

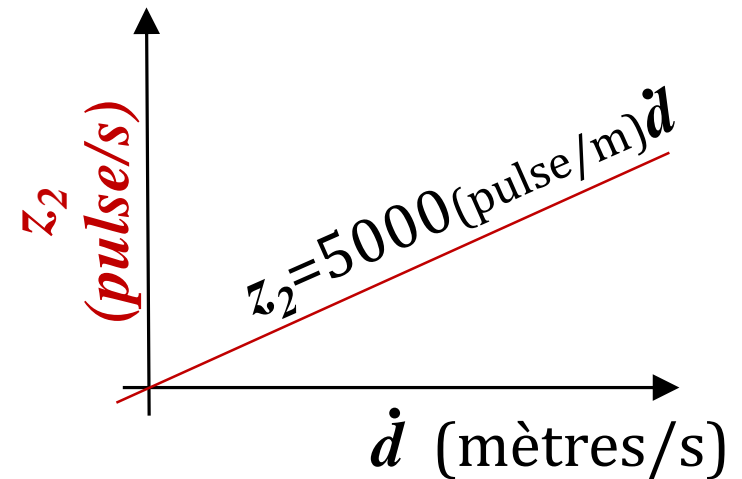
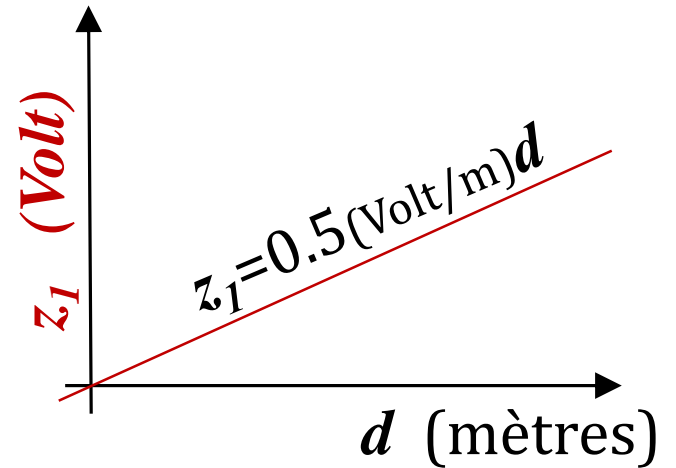


# Modèle linéaire du capteur (2)

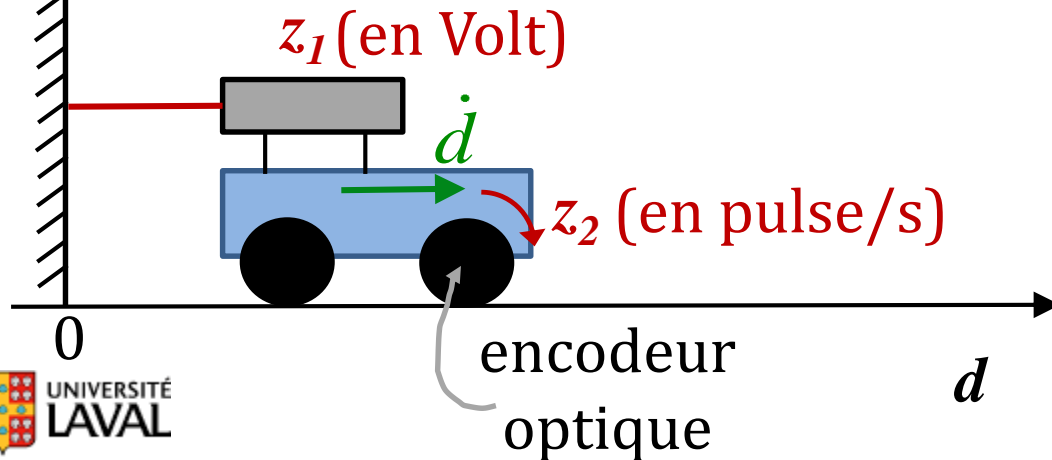
États :  $x = \begin{bmatrix} d \\ \dot{d} \end{bmatrix}$        $z(k) = \Lambda(k)x(k) + w(k)$  ← Bruit Gaussien

(en Volt)  $\begin{bmatrix} z_1 \\ z_2 \end{bmatrix} = \underbrace{\begin{bmatrix} 0.5 & 0 \\ 0 & 5000 \end{bmatrix}}_{\Lambda} \begin{bmatrix} d \\ \dot{d} \end{bmatrix} + \begin{bmatrix} w_1 \\ w_2 \end{bmatrix}$

(en pulse/s)



$z$  n'est pas en mètres  
 $z$  peut avoir une variété d'unités



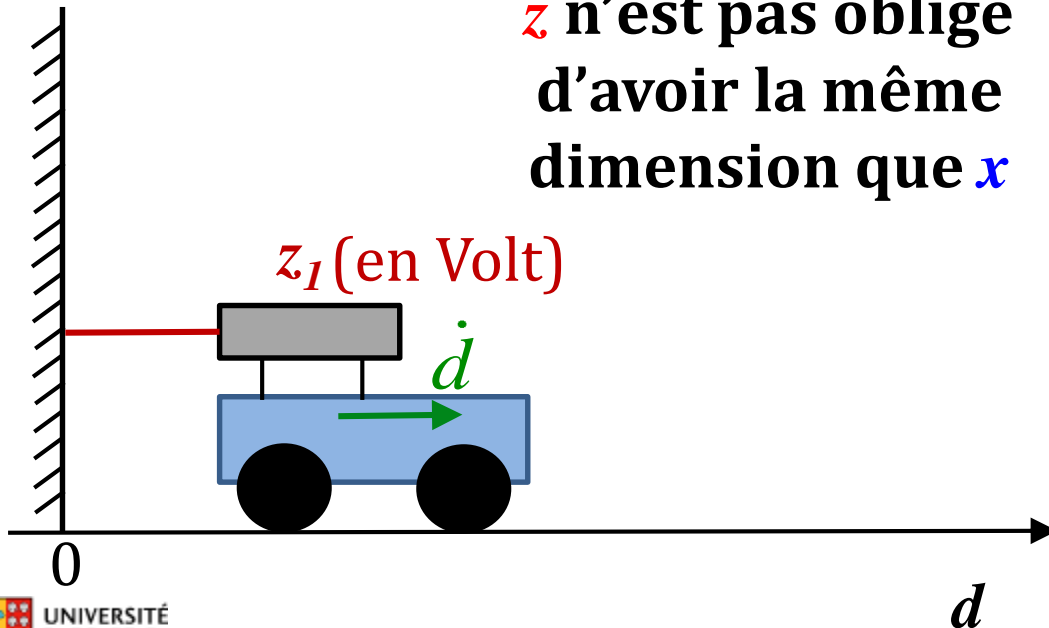
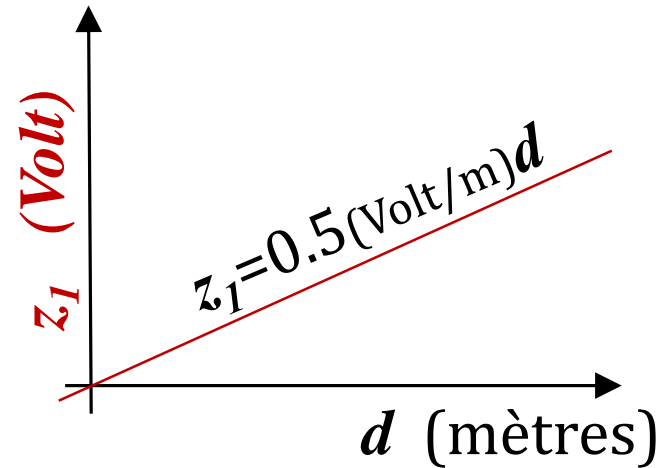
# Modèle linéaire du capteur (3)

États :  $x = \begin{bmatrix} d \\ \dot{d} \end{bmatrix}$

$$z(k) = \Lambda(k)x(k) + w(k) \leftarrow \text{Bruit Gaussien}$$

2 vs. 1  $\rightarrow [z_1] = [0.5 \quad 0] \begin{bmatrix} d \\ \dot{d} \end{bmatrix} + [w_1]$

$z$  n'est pas obligé  
d'avoir la même  
dimension que  $x$



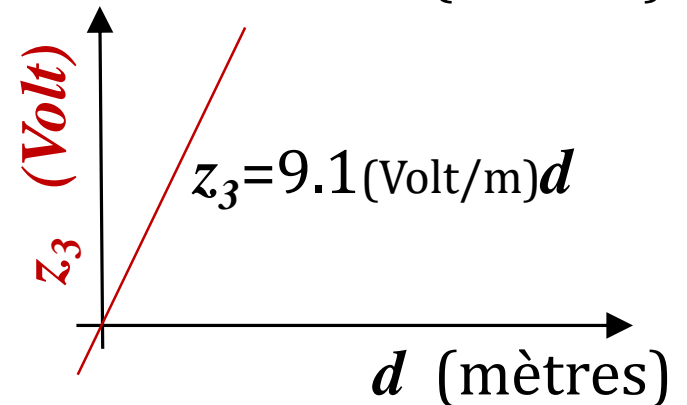
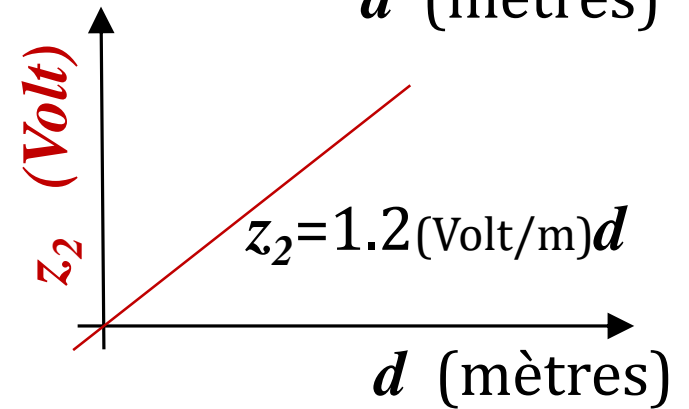
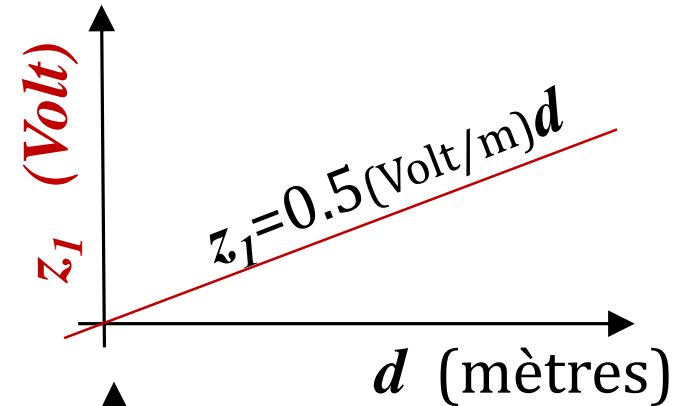
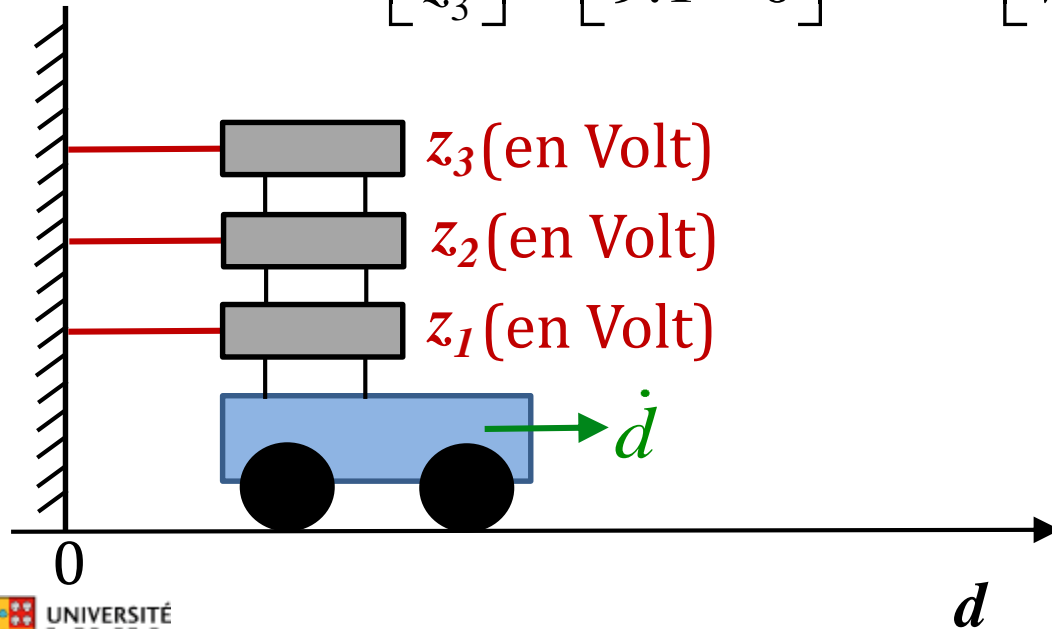
# Modèle linéaire du capteur (4)

États :  $x = \begin{bmatrix} d \\ \dot{d} \end{bmatrix}$

$$z(k) = \Lambda(k)x(k) + w(k)$$

2 vs. 3

$$\begin{bmatrix} z_1 \\ z_2 \\ z_3 \end{bmatrix} = \begin{bmatrix} 0.5 & 0 \\ 1.2 & 0 \\ 9.1 & 0 \end{bmatrix} \begin{bmatrix} d \\ \dot{d} \end{bmatrix} + \begin{bmatrix} w_1 \\ w_2 \\ w_3 \end{bmatrix}$$



# Filtre Kalman

- Ce que l'on cherche à estimer :
  - estimé de la pose au moment  $k$  :  $\hat{x}(k)$
  - estimé de la covariance de la pose au moment  $k$  :  $P(k)$
- Ce que l'on doit connaître de notre système
  - Variance sur déplacement  $C_v(k)$
  - Variance sur capteurs  $C_w(k)$
  - Modèle transition d'état  $\Phi$
  - Modèle des commandes  $\Gamma$
  - Modèle du capteur  $A$

fourni par le manufacturier / vous le mesurez

c'est votre modèle physique du système

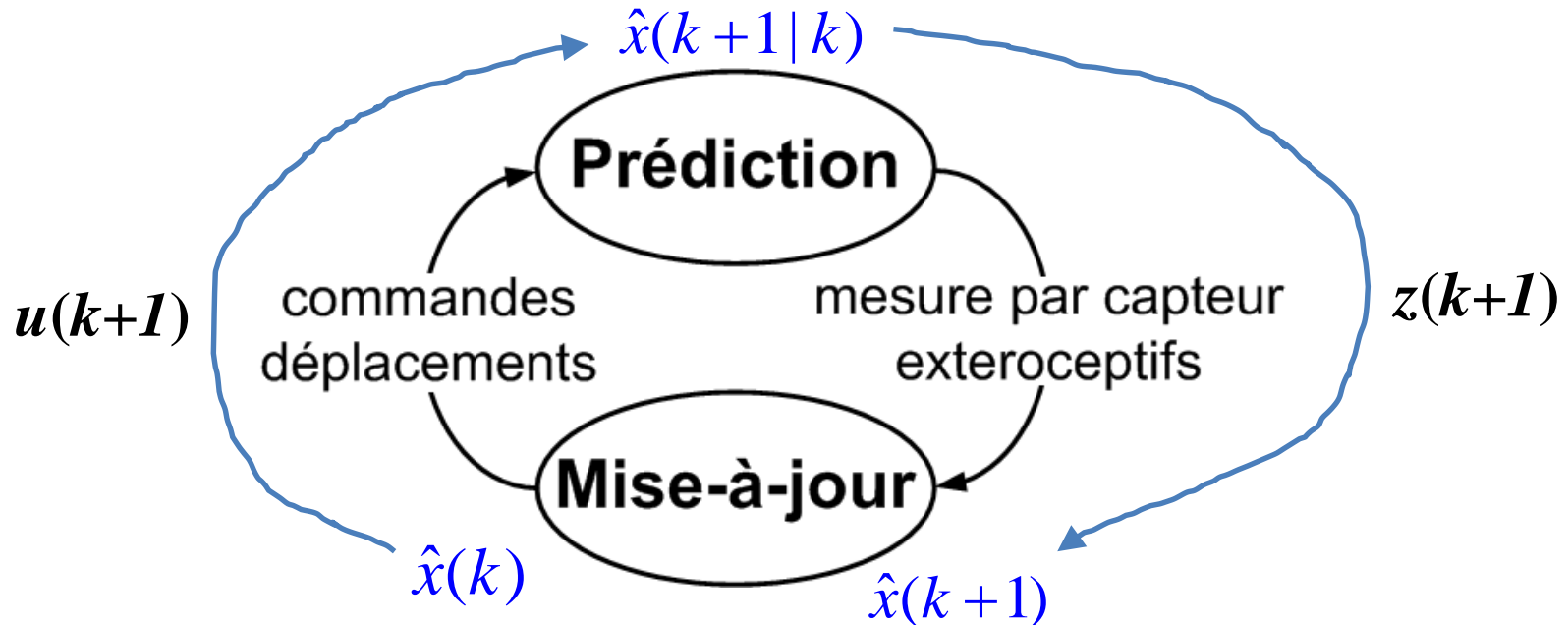
fourni par le manufacturier / calibration manuelle

# Notation

$\hat{x}(k)$  estimé de la pose au moment  $k$

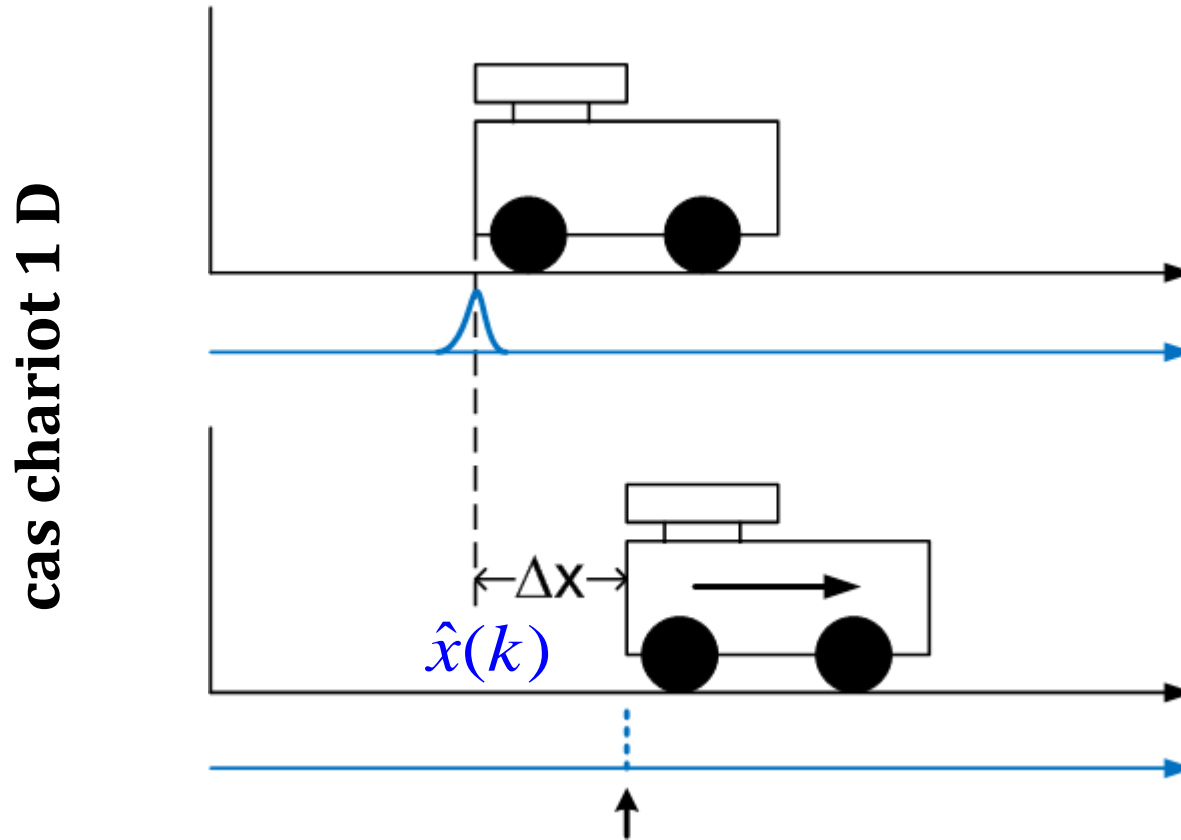
$\hat{x}(k+1|k)$  estimé de la pose, après déplacement  $u(k+1)$ , **avant** mesure  $z(k+1)$

$\hat{x}(k+1)$  estimé de la pose, **après** mesure  $z(k+1)$



# Filtre Kalman : prédiction sur $x$

avant mesure  $z(k+1)$   $\hat{x}(k+1 | k) = \Phi(k)\hat{x}(k) + \Gamma(k)u(k)$



pour  $\Phi(k) = [1]$ ,  $\Gamma(k) = [1]$   $\Rightarrow \hat{x}(k+1 | k) = \hat{x}(k) + \Delta x$

# Filtre Kalman générique : prédiction sur $P$

- Variance estimée sur la prédiction  $\hat{x}(k)$ :

$$P(k) = E\{(\hat{x}(k) - x(k))(\hat{x}(k) - x(k))^T\}$$

*Position réelle (et toujours inconnue)*

$$P(k+1|k) = \Phi(k)P(k)\Phi(k)^T + C_v(k)$$

Bruit sur déplacement,  
perturbations

- Par exemple, 1 dimension et  $\Phi=[1]$

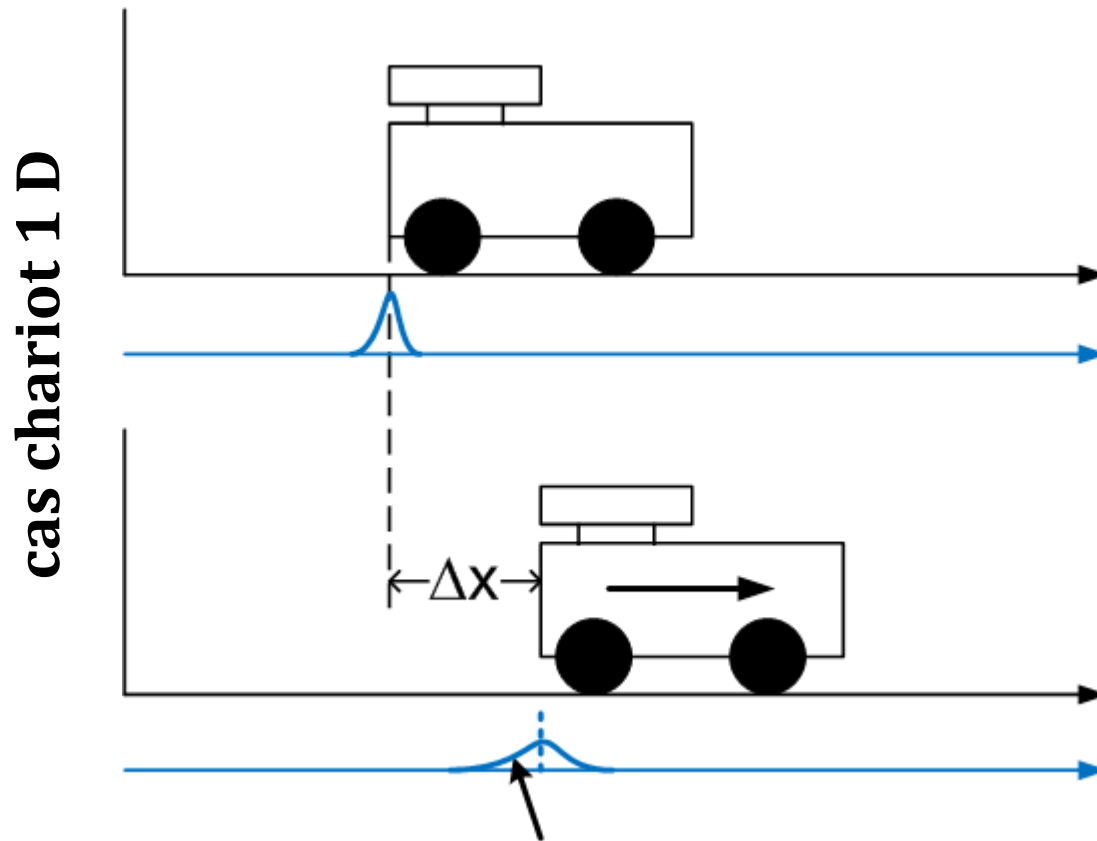
$$P(k+1|k) = \Phi P(k)\Phi^T + C_v = P(k) + C_v$$

- Par exemple, 1 dimension et  $\Phi=[a]$

$$P(k+1|k) = \Phi P(k)\Phi^T + C_v = aP(k)a + C_v = a^2 P(k) + C_v$$

# Filtre Kalman : prédiction sur $P$

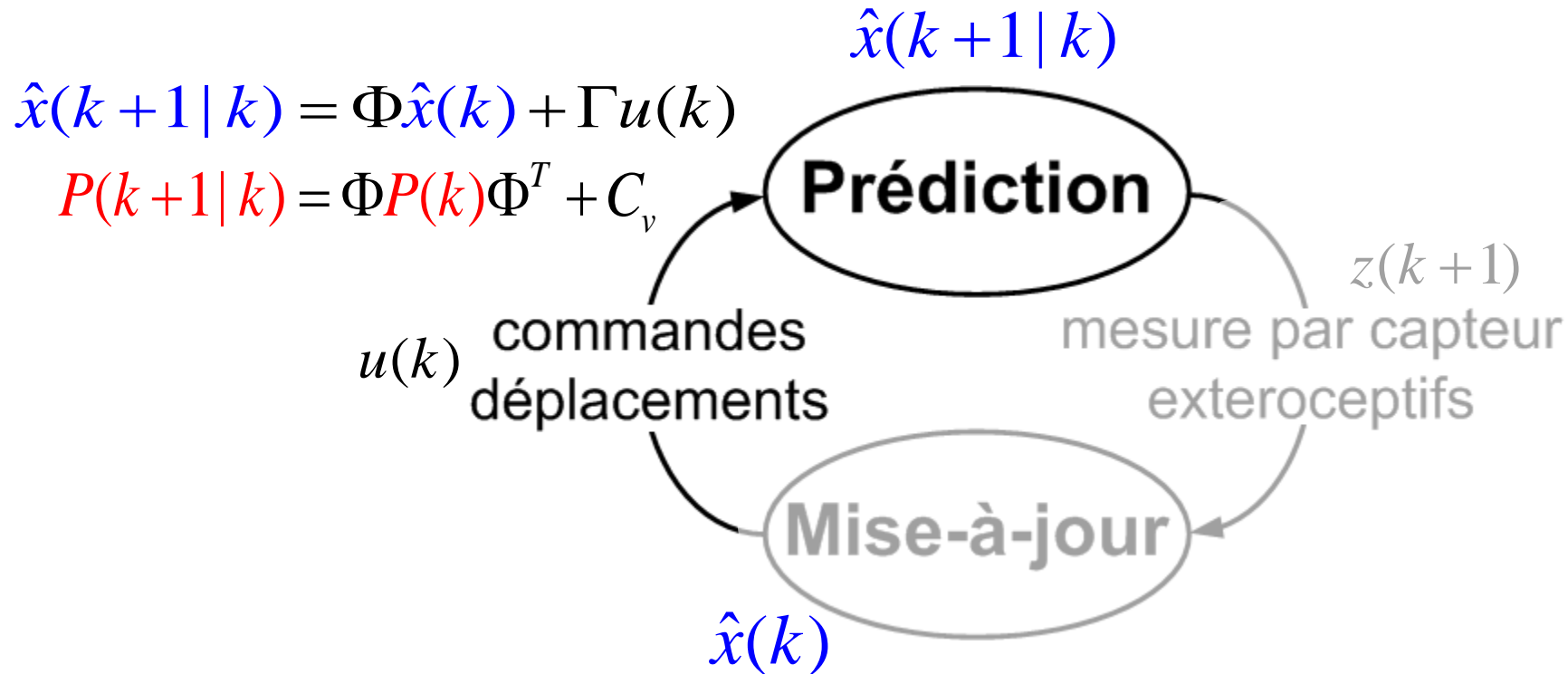
$$P(k+1|k) = \Phi(k)P(k)\Phi(k)^T + C_v(k)$$



$$\Phi(k) = [1] \Rightarrow P(k) + \sigma^2_{pas}$$

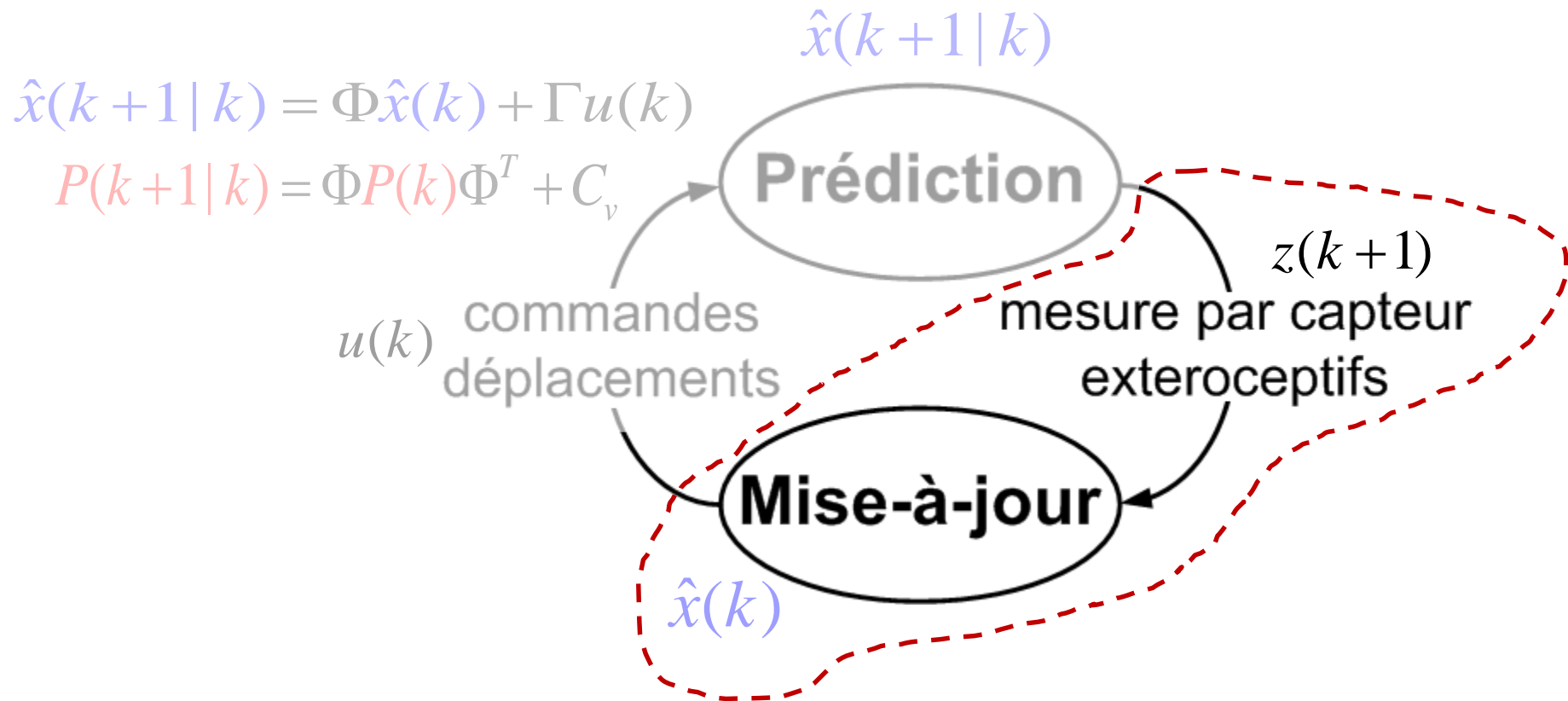
# Estimation d'état : prédiction

note : pour alléger la notation,  $\Phi = \Phi(k)$ ,  $\Gamma = \Gamma(k)$



# Estimation d'état : mise-à-jour

note : pour alléger la notation,  $\Phi = \Phi(k)$ ,  $\Gamma = \Gamma(k)$



# Filtre Kalman : prédire mesure $z$

- Prédire la mesure du capteur :

fonction linéaire  
du capteur

$$\hat{z}(k+1|k) = \Lambda(k+1) \hat{x}(k+1|k)$$

État que l'on  
pense être

- Compare avec mesure prise  $z(k+1)$  : innovation  $r$

$$r(k+1) = \underbrace{z(k+1)}_{\text{mesure obtenue}} - \underbrace{\hat{z}(k+1|k)}_{\text{mesure prédite}}$$

# Calcul poids optimal : gain $K$

- $K$  est similaire à  $w_{opt}$  vu précédemment
- La valeur  $K$  (gain) permet de combiner de façon optimale l'estimé de position  $\hat{x}(k+1|k)$  avec l'innovation  $r(k+1)$ , en tenant compte de :
  - estimé de la covariance de l'estimé de la pose :  $P(k+1|k)$
  - covariance de la mesure : matrice  $C_w(k+1)$

$$K(k+1) = P(k+1|k)\Lambda(k+1)^T \{ \Lambda(k+1)P(k+1|k)\Lambda(k+1)^T + C_w(k+1) \}^{-1}$$

exemple :  $\Lambda(k+1) = [1]$ ,  $C_w = \sigma_{laser}^2$

$$K(k+1) = P(k+1|k)[1]^T \{ [1]P(k+1|k)[1]^T + \sigma_{laser}^2 \}^{-1} = \frac{P(k+1|k)}{P(k+1|k) + \sigma_{laser}^2}$$

(voir moyenne récursive)

# Calcul poids optimal : gain $K$

- La comparaison se fait dans l'espace des mesures (via  $\Lambda$ ), et non pas dans l'espace de l'état

$$K(k+1) = P(k+1|k)\Lambda(k+1)^T \underbrace{\{\Lambda(k+1)P(k+1|k)\Lambda(k+1)^T\}}_{\text{« passe » la covariance sur l'état à travers la fonction de capteur}} + \underbrace{C_w(k+1)}_{\text{covariance des bruits dans les unités des capteurs}}^{-1}$$

- **On n'inverse donc jamais la fonction de capteur**
- *(Avantage : Si la fonction de capteur n'est pas bijective, on ne peut pas l'inverser. Dans ce cas-ci linéaire, ce ne sera jamais un problème. Mais pour des cas non-linéaires (EKF) cela pourrait arriver : capteur infrarouge!)*

# Combiner innovation + estimé

gain Kalman :  
matrice distribue  
les corrections

Estimé après  
mesure

$$\hat{x}(k+1) = \underbrace{\hat{x}(k+1|k)}_{\text{Estimé avant  
mesure}} + \underbrace{K(k+1)r(k+1)}_{\text{innovation :  
information du  
capteur}}$$

innovation :  
information du  
capteur

# Espace des mesures vs. espace d'état

**calcul du gain :**  $K(k+1) = P(k+1|k)\Lambda^T \{ \Lambda P(k+1|k)\Lambda^T + C_w \}^{-1}$

$\hat{x}(k+1|k) = 4.3 \text{ m}$   
 $P = (0.2\text{m})^2 = 0.04 \text{ m}^2$   
 $\Lambda = 3 \text{ V/m}$   
 $\sigma_V = 0.3 \text{ V}$   
 $z(k) = 13.8 \text{ V (x=4.6 m)}$

$K(k+1) = 0.04\text{m}^2 \times 3 \text{ V/m} \{ 3 \text{ V/m} \times 0.04 \text{ m}^2 \times 3 \text{ V/m} + 0.09 \text{ V}^2 \}^{-1}$

$K(k+1) = 0.2667 \text{ m/V}$

**prédiction de mesure :**

$\hat{z}(k+1|k) = \Lambda\hat{x}(k+1|k) = 3 \text{ V/m} \times 4.3 \text{ m} = 12.9 \text{ V}$

**innovation :**

$r(k+1) = z(k+1) - \hat{z}(k+1|k) = 13.8 \text{ V} - 12.9 \text{ V} = 0.9 \text{ V}$

**mise-à-jour:**

$\hat{x}(k+1) = \hat{x}(k+1|k) + K(k+1)r(k+1) = 4.3 \text{ m} + 0.2667 \text{ m/V} \times 0.9 \text{ V} = 4.540 \text{ m}$

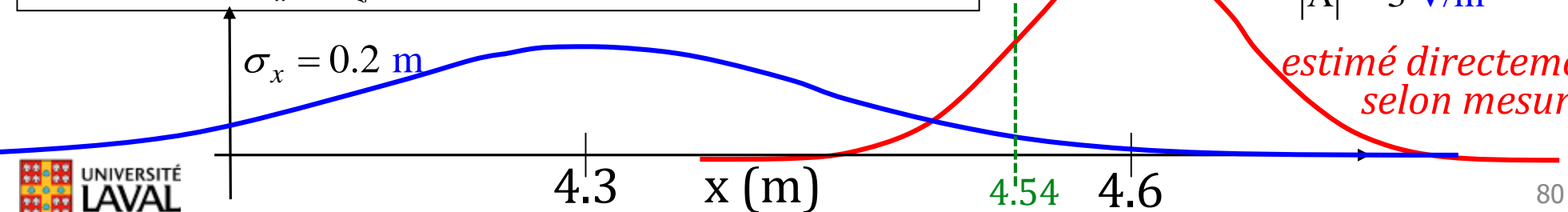
**Rapporté dans l'espace de l'état**

méthode fusion :  $\frac{4.6\sigma_x^2 + 4.3\sigma_z^2}{\sigma_x^2 + \sigma_z^2} = \frac{4.6 \times 0.04 + 4.3 \times 0.01}{0.05} = 4.5400$

**même chose**

$\sigma_z = \frac{\sigma_V}{|\Lambda|} = \frac{0.3 \text{ V}}{3 \text{ V/m}} = 0.1 \text{ m}$

*estimé directement selon mesure z*



# Ajuster la covariance $P$

---

- Nous avons **acquis** de la précision sur la pose
- La covariance  $P$  va **nécessairement** diminuer

$$P(k+1) = (I - K(k+1)\Lambda(k+1))P(k+1|k)$$

# Équations du filtre de Kalman

- Prédiction (lors du déplacement)

(1)  $\hat{x}(k+1|k) = \Phi\hat{x}(k) + \Gamma u(k)$  déplacement du robot

(2)  $P(k+1|k) = \Phi P(k)\Phi^T + C_v$  augmentation covariance P, après déplacement

- Mise-à-jour (mesure par capteur extéroceptif)

(3)  $\hat{z}(k+1|k) = \Lambda\hat{x}(k+1|k)$  prédire ce que je devrais mesurer

(4)  $r(k+1) = z(k+1) - \hat{z}(k+1|k)$  compare avec mesure : innovation  $r(k+1)$

(5)  $K(k+1) = P(k+1|k)\Lambda^T \{ \Lambda P(k+1|k)\Lambda^T + C_w(k+1) \}^{-1}$  gain optimal

(6)  $\hat{x}(k+1) = \hat{x}(k+1|k) + K(k+1)r(k+1)$  combine estimé pose + mesure

(7)  $P(k+1) = (I - K(k+1)\Lambda)P(k+1|k)$  ajuste covariance P, après gain info

*note : pour alléger la notation,  $\Phi = \Phi(k)$ ,  $\Gamma = \Gamma(k)$ ,  $\Lambda = \Lambda(k)$*

# Exemples de filtre de Kalman linéaires

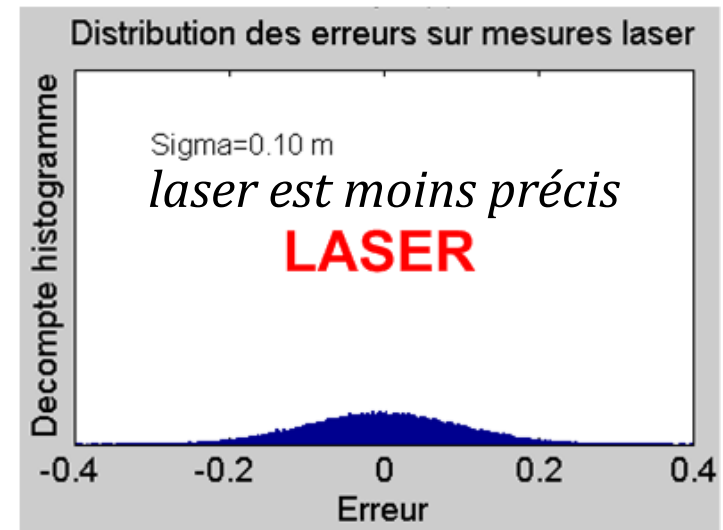
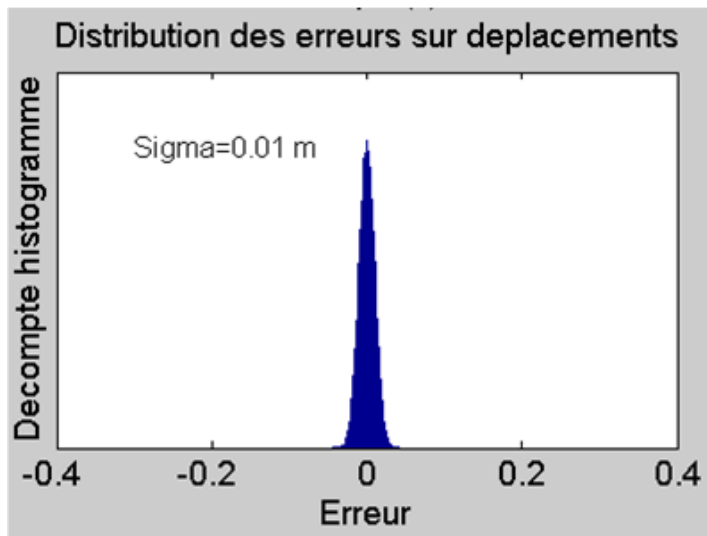
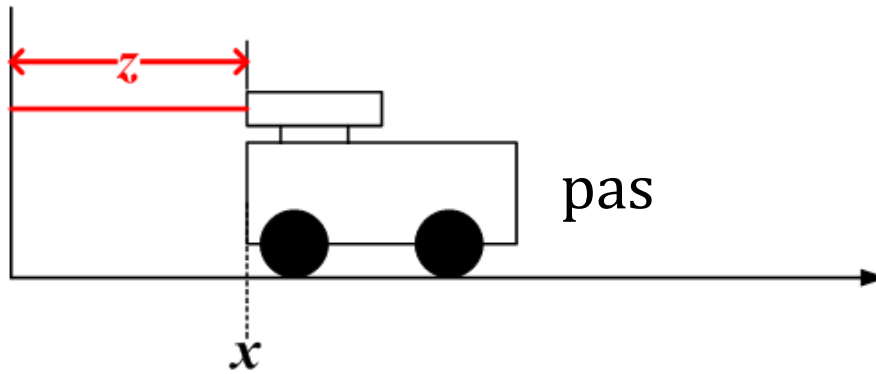
# 2 Exemples de filtre Kalman

---

- 1<sup>er</sup> exemple : 1 variable d'état
- 2<sup>ème</sup> exemple : 2 variables d'état

# 1<sup>er</sup> exemple : état 1 variable

- Chariot sur roues avance pas-à-pas, laser mesure en mètre



Note : l'odométrie est souvent une mesure localement très précise, mais dérive.

# 1<sup>er</sup> exemple : équations

- Propagation

$$\hat{x}(k+1|k) = \hat{x}(k) + pas$$

$$P(k+1|k) = P(k) + \sigma_{pas}^2$$

$$\Phi = [1] \quad \text{prop. d'état}$$

$$\Gamma = [1] \quad \text{commande}$$

$$\Lambda = [1] \quad \text{mesure}$$

# 1<sup>er</sup> exemple : équations

- Propagation

$$\hat{x}(k+1|k) = \hat{x}(k) + pas$$

$$P(k+1|k) = P(k) + \sigma_{pas}^2$$

$$\Phi = [1] \quad \text{prop. d'état}$$

$$\Gamma = [1] \quad \text{commande}$$

$$\Lambda = [1] \quad \text{mesure}$$

- Mise-à-jour

$$\hat{z}(k+1|k) = \hat{x}(k+1|k)$$

$$r(k+1) = z(k+1) - \hat{z}(k+1|k)$$

$$K(k+1) = P(k+1|k) \{ P(k+1|k) + C_w(k+1) \}^{-1} = \frac{P(k+1|k)}{P(k+1|k) + \sigma_{laser}^2}$$

$$\hat{x}(k+1) = \hat{x}(k+1|k) + K(k+1)r(k+1)$$

$$P(k+1) = (I - K(k+1))P(k+1|k)$$

(on retrouve les mêmes équations qu'avec l'exemple sur la moyenne récursive!)

# Filtre Kalman code matlab

- Code pour la boucle

un pas =  $V \cdot dt$

```
% Simulation du systeme
xVrai = xVrai + V*dt + Sx*randn;
z = xVrai + Slaser*randn; % mesure laser
```

Kalman

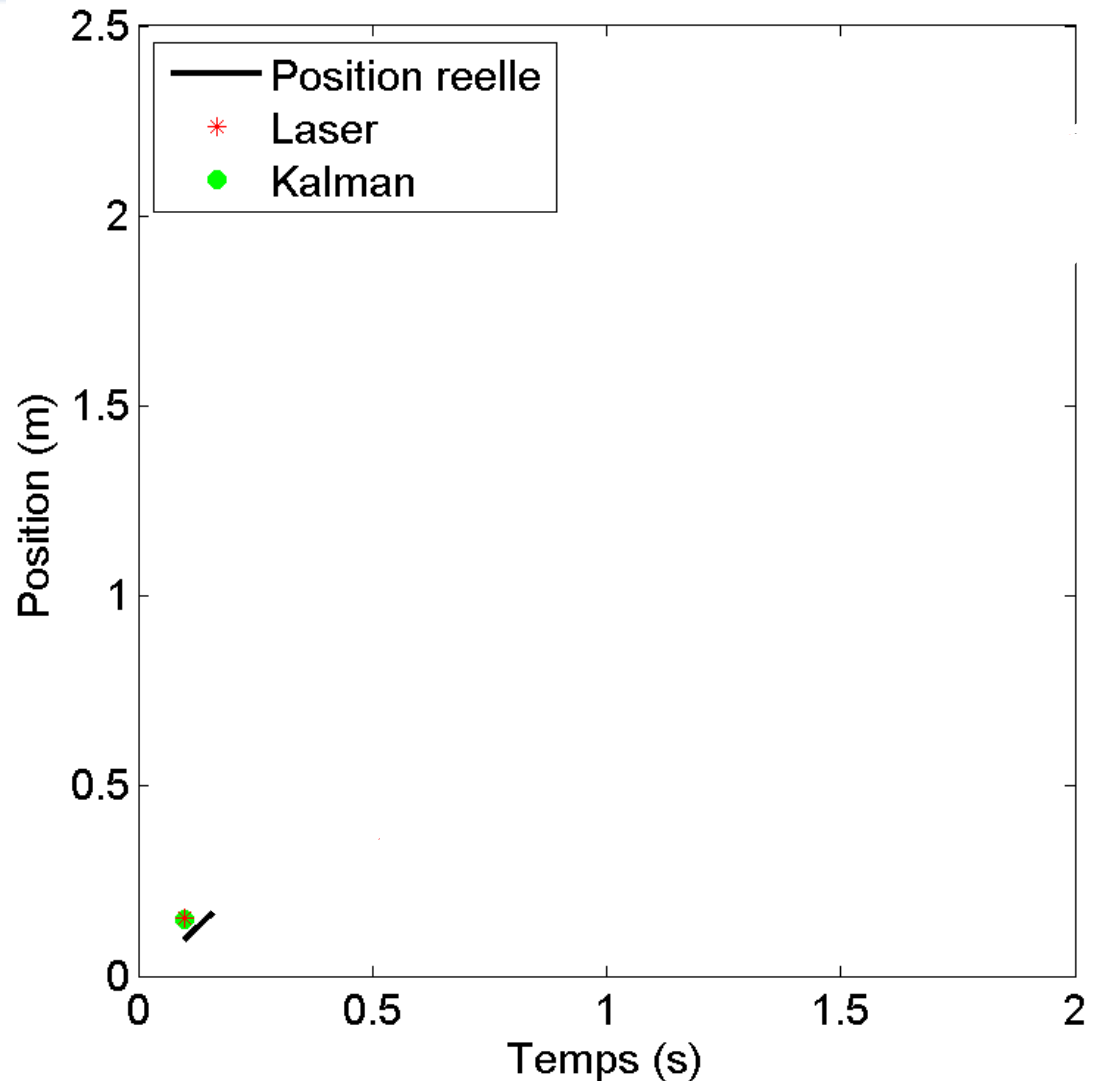
```
% Propagation
x = x + V*dt;
P = P + Cv;

% Mise-a-jour (update)
K = P / (P+Cw);
x = x + K*(z-x);
P = (eye(1)-K)*P;
```

$V$  constante

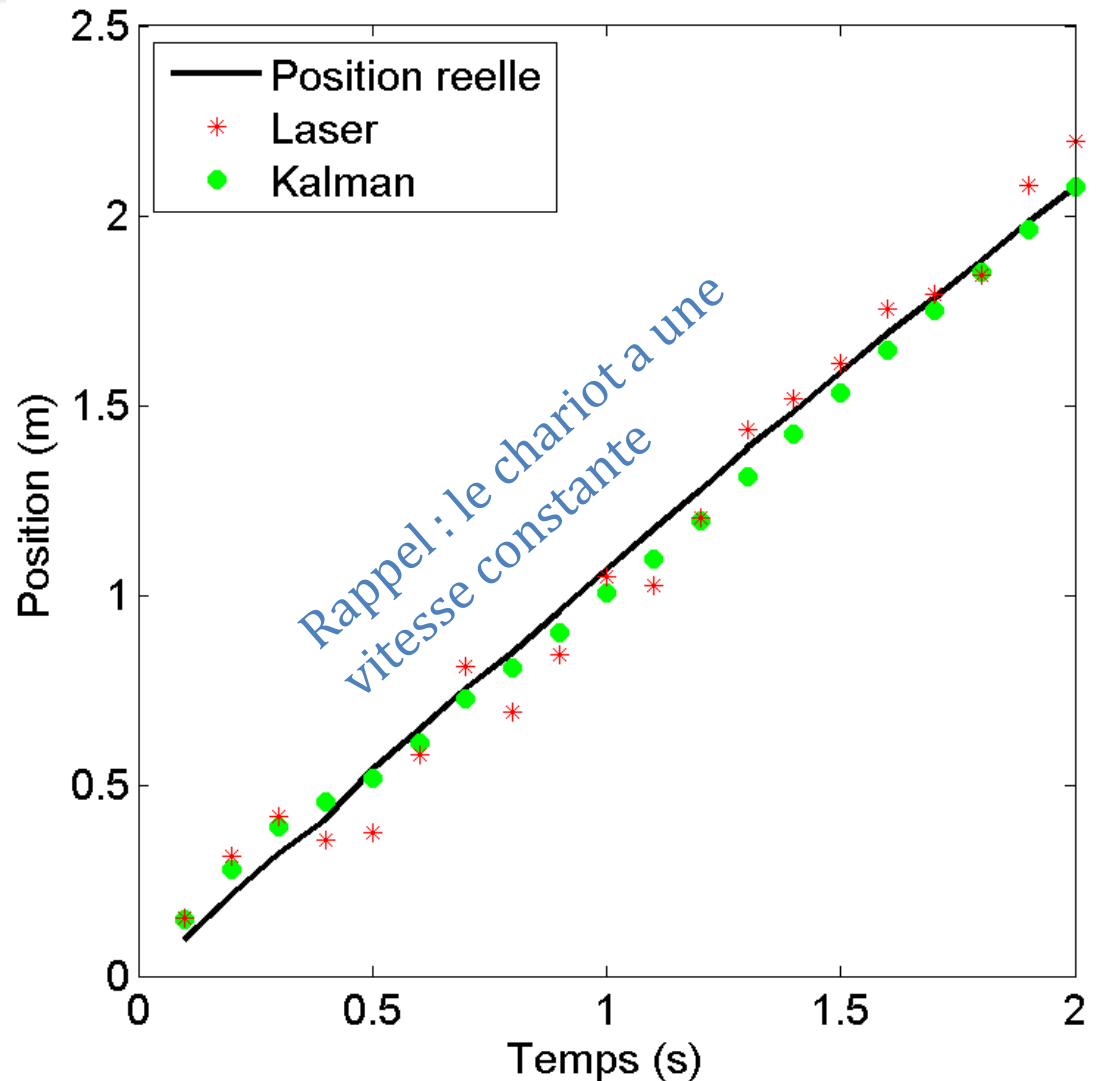
# Résultat simulation Kalman

- 1<sup>ère</sup> itération : on initialise la position du filtre à la mesure laser,  $P = \sigma_{\text{laser}}$

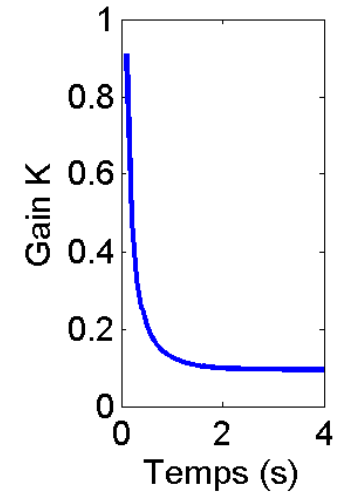
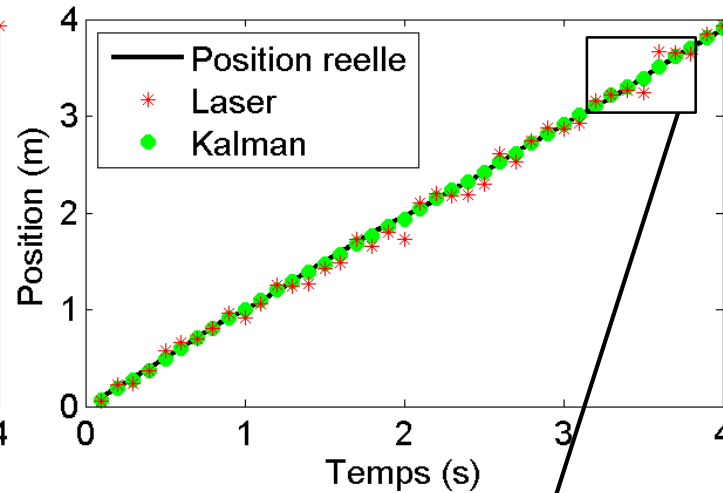
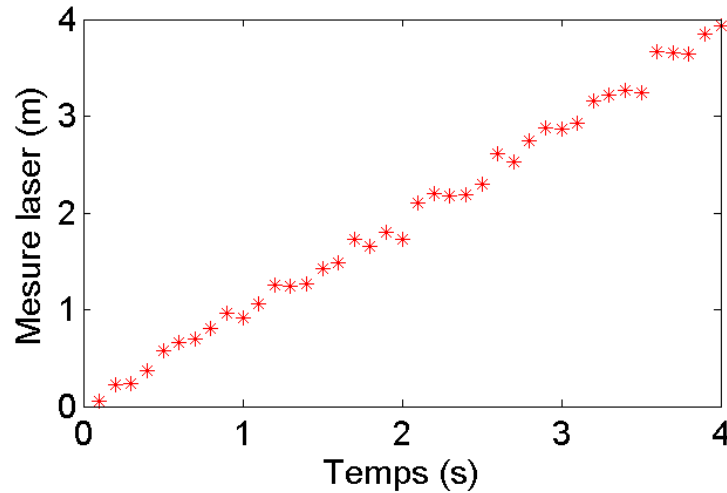


# Résultat simulation Kalman

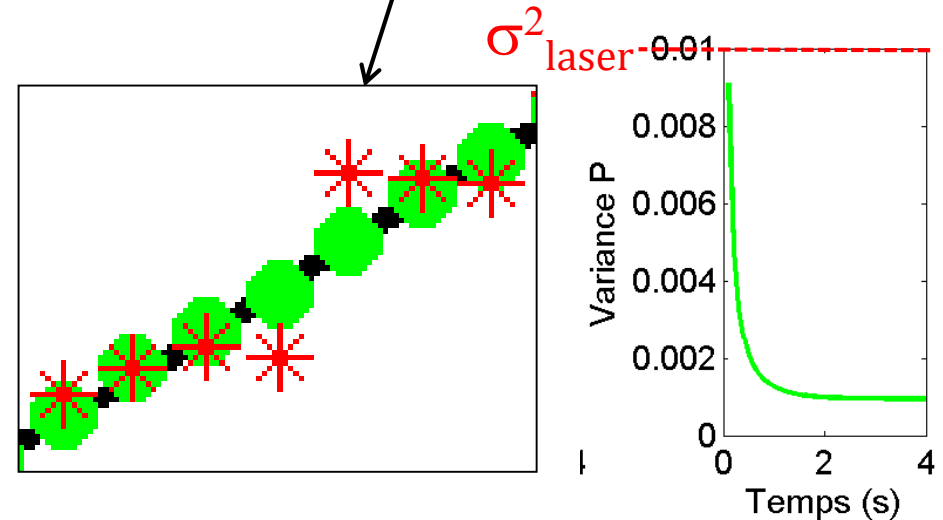
- 1<sup>ère</sup> itération : on initialise la position du filtre à la mesure laser,  $P = \sigma_{\text{laser}}$
- Au fil du temps, l'erreur du filtre diminue : moins grande dispersion que les mesures laser



# Résultat simulation Kalman



**réduction d'un facteur 5  
à 10 pour ce système  
sur l'erreur en position,  
par rapport au laser**



## 2<sup>ème</sup> Exemple : gyro + compas magnétique

---

- Deux capteurs placé sur un objet quelconque:
  - gyroscope à taux  $N(\underline{0.1}, 0.2^2)$  deg/s (**avec biais**)
  - compas magnétique  $N(0, 10^2)$  deg (**sans biais**)
- Rotation dans un plan
- Veut *fusionner* les deux ensemble :

Proprio. – gyro est peu bruité, mais dérive → bon à court terme

Exterio. – compas ne dérive pas, mais est bruité → bon à long terme

# Modèle du système : propagation

- État : angle  $\theta$  et vitesse angulaire  $\dot{\theta}$  :  $x = [\theta \ \dot{\theta}]^T$
- Gyro : proprioceptif, équivaut à une commande

$$\begin{array}{c} \text{état à} \\ k+1 \\ \left[ \begin{array}{c} \theta \\ \dot{\theta} \end{array} \right] = \begin{bmatrix} 1 & \Delta t \\ 0 & 0 \end{bmatrix} \begin{array}{c} \text{état à} \\ k \\ \left[ \begin{array}{c} \theta \\ \dot{\theta} \end{array} \right] + \begin{bmatrix} 0 \\ 1 \end{bmatrix} \begin{array}{c} \text{commande} \\ \dot{\theta}_{gyro} \end{array} \end{array}$$
  
$$\Phi = \begin{bmatrix} 1 & \Delta t \\ 0 & 0 \end{bmatrix} \quad \Gamma = \begin{bmatrix} 0 \\ 1 \end{bmatrix} \quad C_v = \begin{bmatrix} 0 & 0 \\ 0 & 16\sigma_{gyro}^2 \end{bmatrix}$$

*sur-estime, pour tenir compte biais*

surestimer augmente la robustesse des algos aux violations

# Modèle capteur : mise-à-jour

- Je ne « mesure » qu'avec le compas → extéroceptif
- Autrement dit, je ne veux pas que le gyro intervienne dans la mise-à-jour, car il est proprioceptif

ce que je  
m'attends à  
mesurer...

$$\hat{z}(k+1) = \Lambda \hat{x}(k+1|k) = \begin{bmatrix} 1 & 0 \end{bmatrix} \begin{bmatrix} \theta \\ \dot{\theta} \end{bmatrix} = \begin{bmatrix} \theta \end{bmatrix}$$

$$\Lambda = \begin{bmatrix} 1 & 0 \end{bmatrix}$$

$$C_w = \begin{bmatrix} \sigma^2_{compas} \end{bmatrix}$$

Notez la dimension de  $\Lambda$  : (**1**x**2**)

- **1 capteur**
- **2 variables d'état**

# Code matlab

## Paramètres

$\Phi$   $C_v = [0 \ 0; 0 \ (4*SGyro)^2];$   
 $\Lambda$   $C_w = SCompas^2;$   
 $\Gamma$   $F = [1 \ dT; 0 \ 0];$   
 $H = [1 \ 0];$   
 $B = [0 \ 1]';$

en boucle

```
% Je vais osciller le capteur combine
xVrai = 40*[sin(wrot*time) wrot*cos(wrot*time)]';
           angle           dérivée de l'angle

% Je simule la reponse des capteurs
compass = xVrai(1) + SCompas*randn;
gyro     = xVrai(2) + SGyro*randn + GyroBiais;
```

```
% Le vecteur de mesure
z = compass;
```

```
% La commande
U = [gyro];
```

```
% ===== Propagation =====
X = F*X + B*U;
P = F*P*F' + Cv;

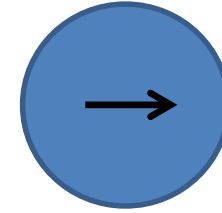
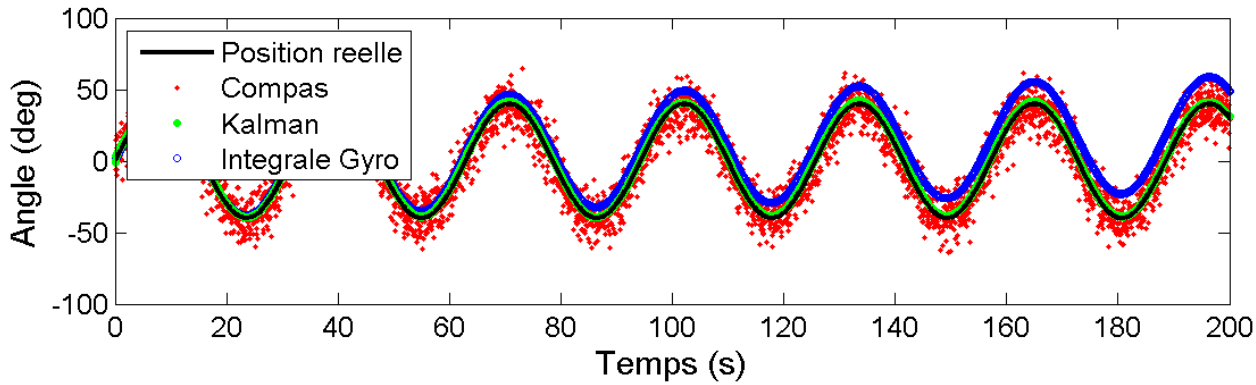
% ===== Mise-a-jour =====
K = P*H' / (H*P*H' + Cw);
X = X + K*(z - H*X);
P = (eye(2) - K*H) * P;
```

```
% Intégrer le gyro, pour fin de comparaison
XGyro = XGyro + gyro*dT;
XGyroInt(iStep) = XGyro;
```

simulation

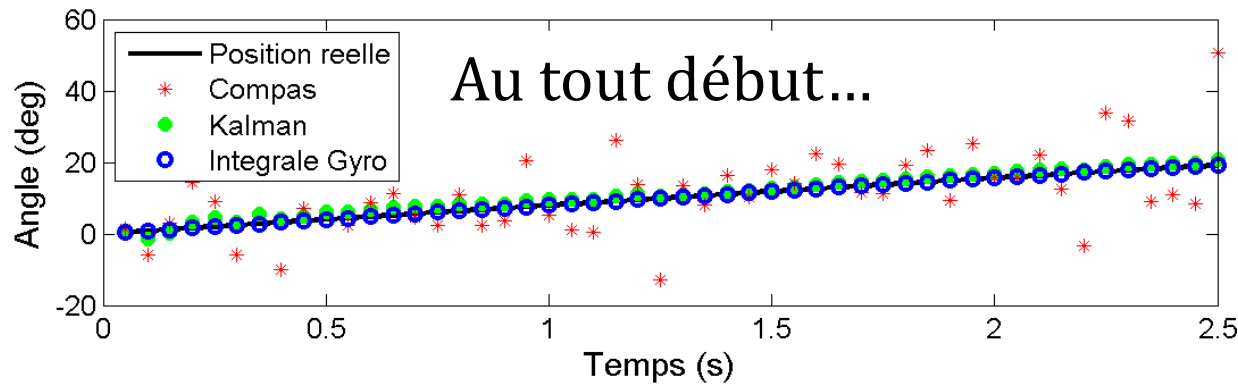
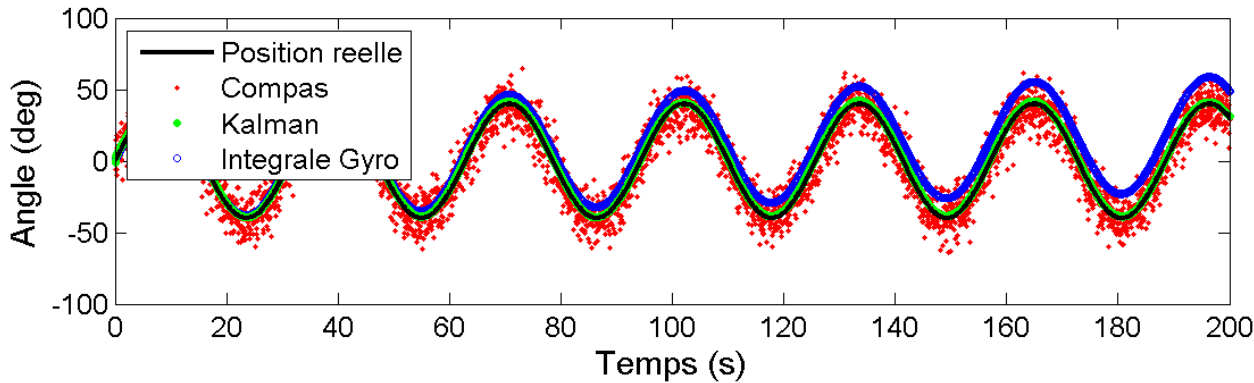
Kalman  
équations

# Résultat simulation (20 mesures/sec)



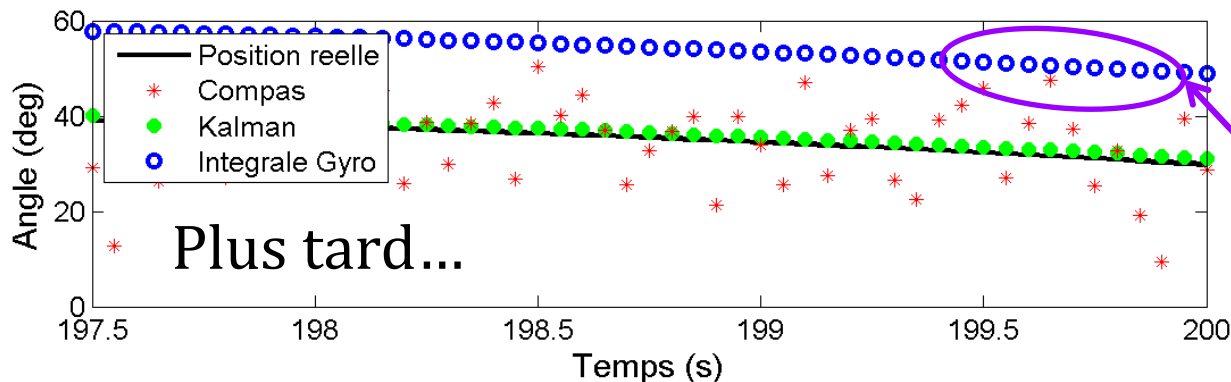
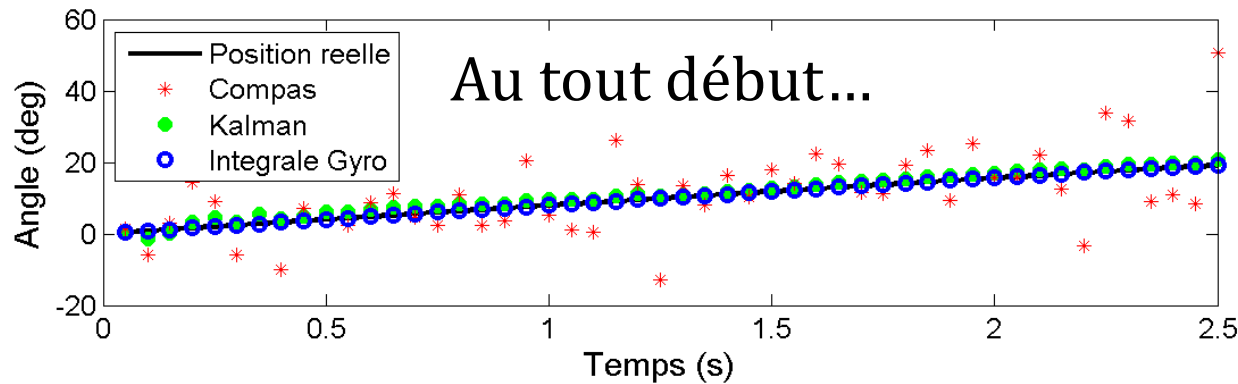
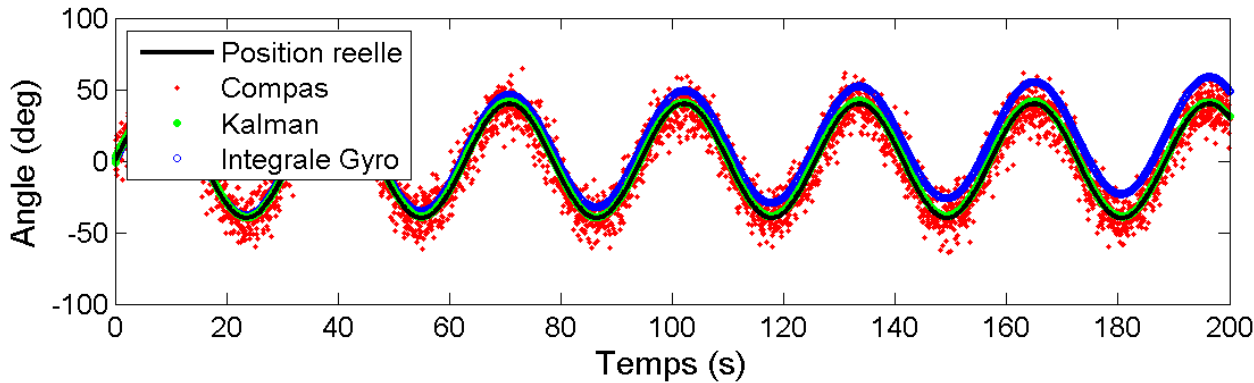
trajectoire :  $\theta = 40^\circ \sin(0.2t)$

# Résultat simulation (20 mesures/sec)



*L'intégration du gyroscope nous donne une mesure peu bruitée et proche de la réalité*

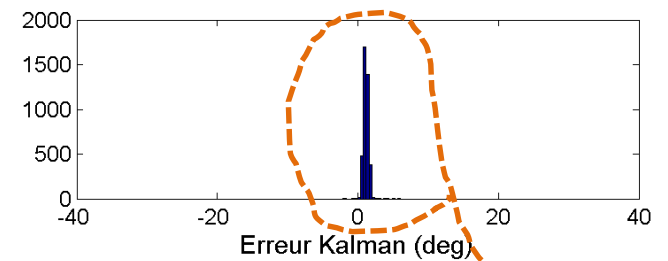
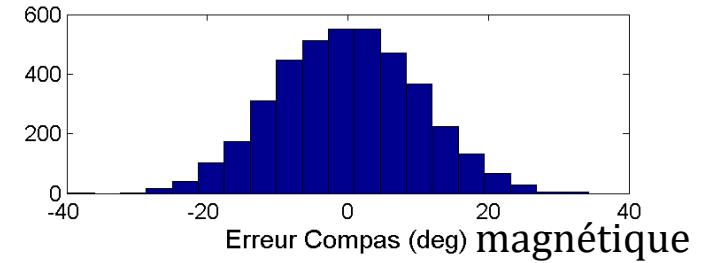
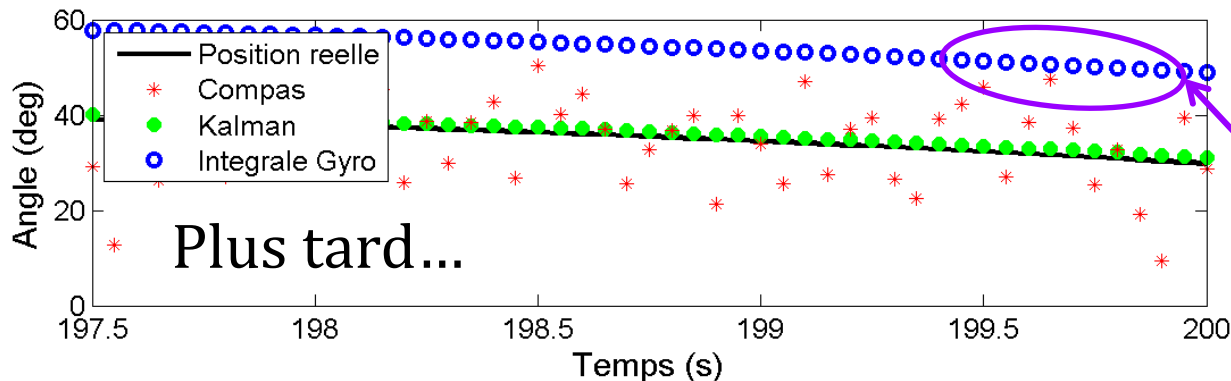
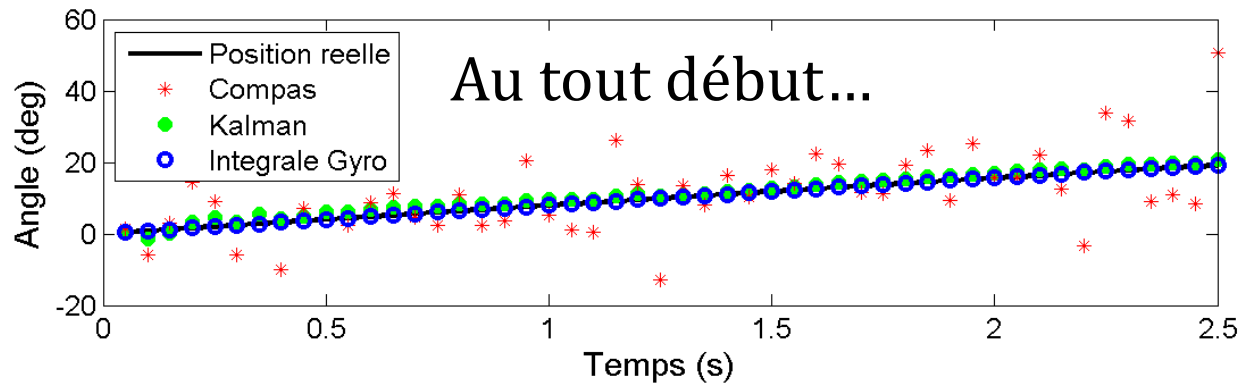
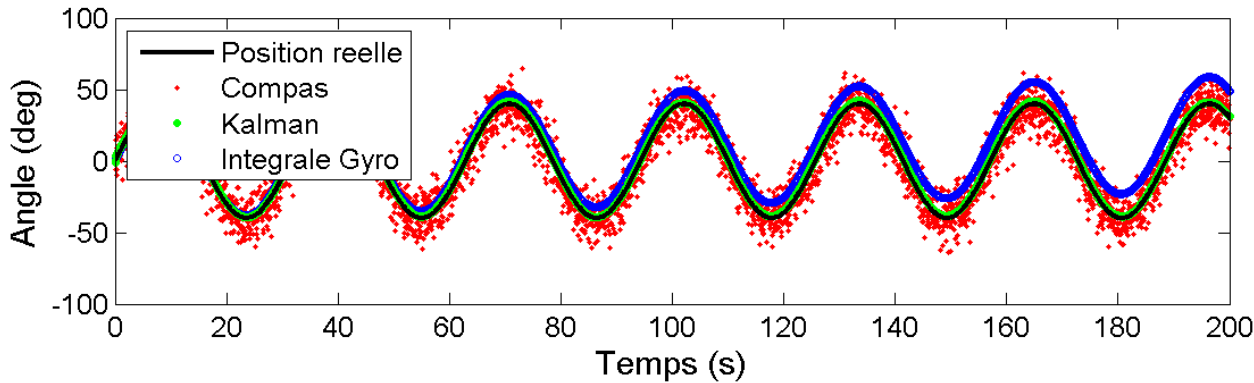
# Résultat simulation (20 mesures/sec)



*Mais l'intégrale finie par s'éloigner de la réalité, à cause de l'accumulation du biais*

**le gyro diverge**

# Résultat simulation (20 mesures/sec)



on obtient le meilleur des deux mondes : système précis et sans dérive

# Estimation du biais du gyroscope

- On ajoute une entrée  $G_{biais}$  dans l'état :  $X = \begin{bmatrix} \theta \\ \dot{\theta} \\ G_{biais} \end{bmatrix}$

- On le **soustrait** à la mesure du gyroscope :

$$\Phi = \begin{bmatrix} 1 & \Delta t & 0 \\ 0 & 0 & -1 \\ 0 & 0 & 1 \end{bmatrix} \Rightarrow \begin{bmatrix} \theta \\ \dot{\theta} \\ G_{biais} \end{bmatrix} = \begin{bmatrix} 1 & \Delta t & 0 \\ 0 & 0 & -1 \\ 0 & 0 & 1 \end{bmatrix} \begin{bmatrix} \theta \\ \dot{\theta} \\ G_{biais} \end{bmatrix} + \begin{bmatrix} 0 \\ 1 \\ 0 \end{bmatrix} \begin{bmatrix} \dot{\theta}_{gyro} \end{bmatrix}$$

- On ajuste la vitesse qu'on estime que le biais change, via son « **bruit** » :

$$C_v = \begin{bmatrix} 0 & 0 & 0 \\ 0 & \sigma_{gyro}^2 & 0 \\ 0 & 0 & 0.003^2 \end{bmatrix}$$

- Matrice de mesure :  $\Lambda = \begin{bmatrix} 1 & 0 & 0 \end{bmatrix}$

utilise maintenant la valeur exact du bruit de gyro

# Estimation biais : résultats

